



Pankreatische NET – Gibt es standardisierte Therapieverfahren?

Ulrich-Frank Pape

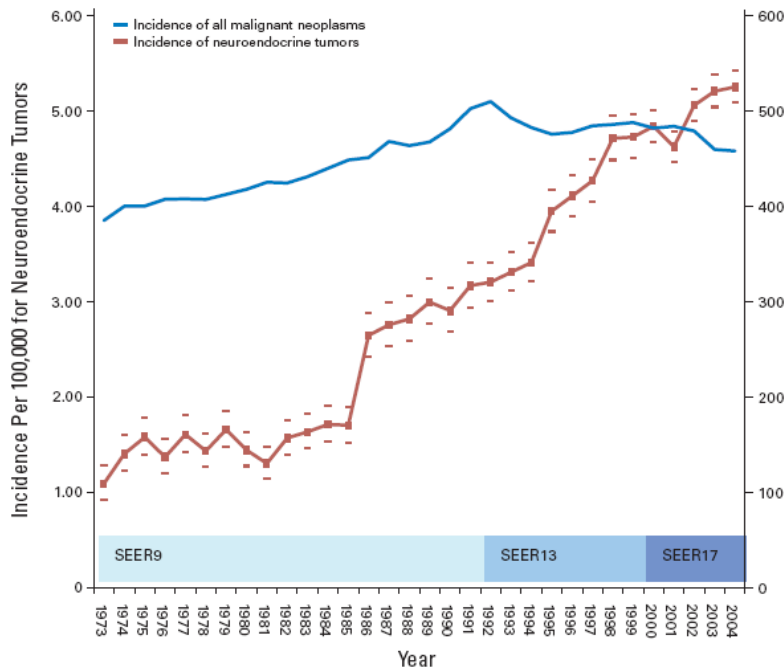
Medizinische Klinik m.S.

Hepatologie & Gastroenterologie

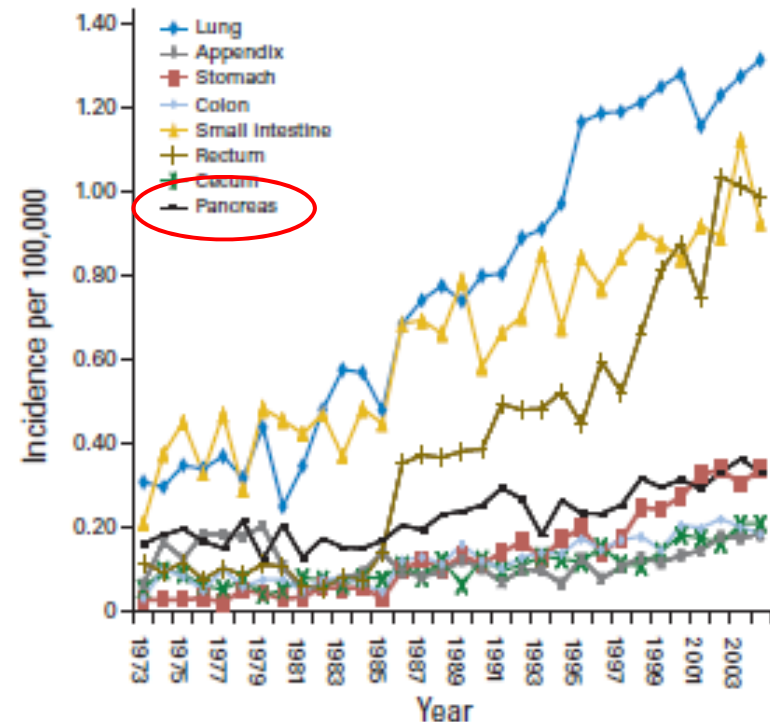
Charité, Campus Virchow-Klinikum

Universitätsmedizin Berlin

Werden NET häufiger? - Die SEER-Daten



Modlin et al. *Lancet Oncol* 2008

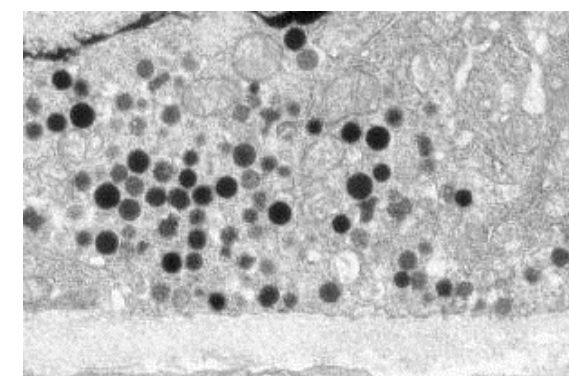
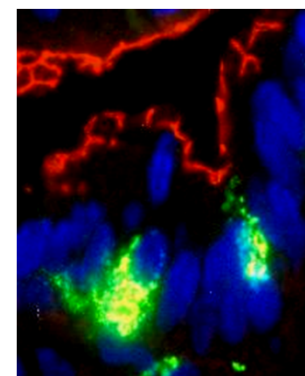
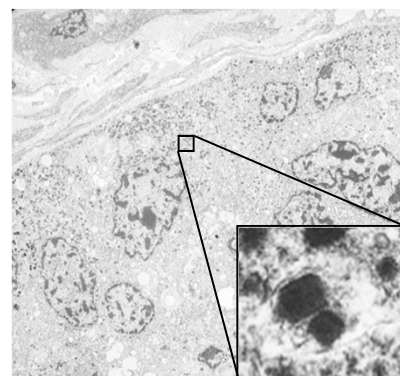


Yao et al. *JCO* 2008

Das diffuse endokrine System (DES) des GI-Traktes

Neoplasm and cell type	Pancreas	Stomach		Small intestine			Appendix	Large intestine	
		Body fundus	Antrum	Duodenum	Jejunum	Ileum		Colon	Rectum
NET grade 1-2									
B	✓	-	-	-	-	-	-	-	-
A	✓	-	-	-	-	-	-	-	-
PP	✓	-	-	-	-	-	-	-	-
D	✓	-	-	✓	✓	-	-	-	-
EC	✓	✓	✓	✓	✓	✓	✓	✓	✓
ECL	-	✓	-	-	-	-	-	-	-
G	✓	-	✓	✓	✓	✓	-	-	-
L	-	-	-	✓	✓	✓	✓	✓	✓
P/D1	✓	✓	-	-	-	-	-	-	-
NEC grade 3									
S/L	✓	✓	✓	✓	✓	✓	✓	✓	✓

Rindi & Wiedenmann *Nature Rev Endocrinol* 2011



Hormonhypersekretionssyndrome (Funktionalität)

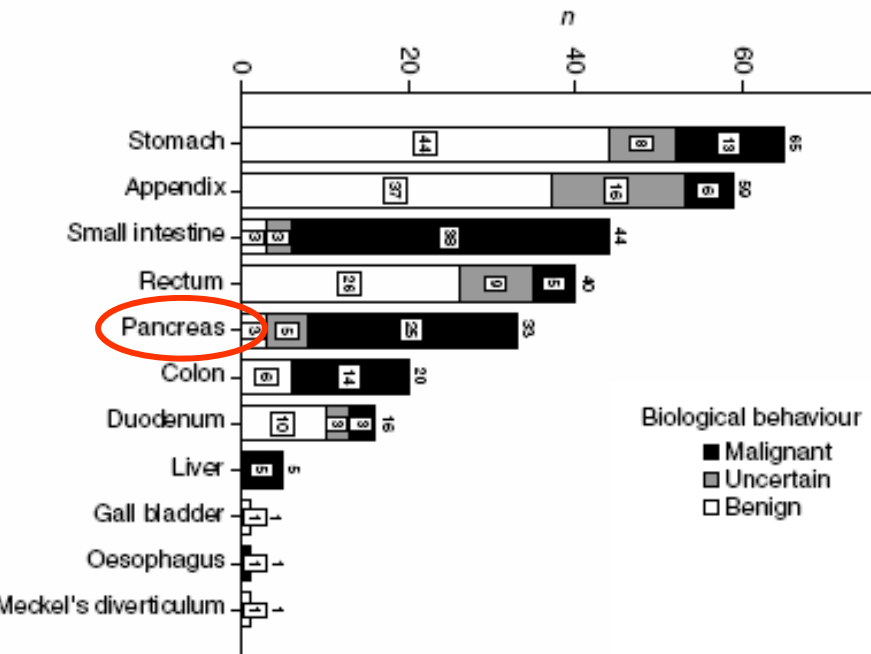
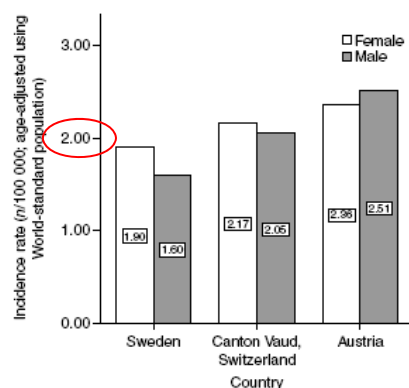
Syndrom / Tumor	Sezernierte(s) Hormon(e)	Primärtumor	Klinik
(Klassisches) Karzinoid-syndrom	Serotonin (Substanz P, Neuropeptid K, Tachykinine)	Dünndarm (v.a. Ileum), Bronchialsystem, Flush (85 %), sekretorische Diarröen (75 %), Pankreas (selten), Rektum (sehr selten)	Karzinoidherz (25 %), Bronchospasmus (<10 %)
Atypisches Karzinoid-syndrom	Histamin (Bradykinin)	Magen (selten)	Flush, Bronchospasmus
Zollinger-Ellison-Syndrom (ZES)	Gastrin	Duodenum (30 %), Pankreas (70 %)	rezidivierende Magen-Darm-Ulzera (v.a. in atypischer Lokalisation und multipel), sekretorische Diarröen, Steatorrhö, Maldigestion
Insulinom	Insulin	Pankreas	Whipple-Trias: Nüchternhypoglykämie, Neuroglykopenie, Reversibilität nach Glukosegabe
Glukagonom	Glukagon	Pankreas	Diabetes mellitus, nekrolytisches migratorisches Erythem, Anämie, Malnutrition
Verner-Morrison-Syndrom (WDHA)	VIP	Pankreas (90 %)	wässrige Diarröen, Hypokaliämie, Achlorhydrie (WDHA), metabolische Azidose, gelegentlich Flush
Somatostatinom	Somatostatin	Pankreas (50 %), Duodenum (50 %)	Steatorrhöen, Diarröen, Cholelithiasis, Diabetes mellitus
Ektopes ACTHom	ACTH	Bronchialsystem	Cushing-Syndrom

Pape et al. gastroenterologie up2date 2011

Populations-basierte Epidemiologie in Europa: Österreich

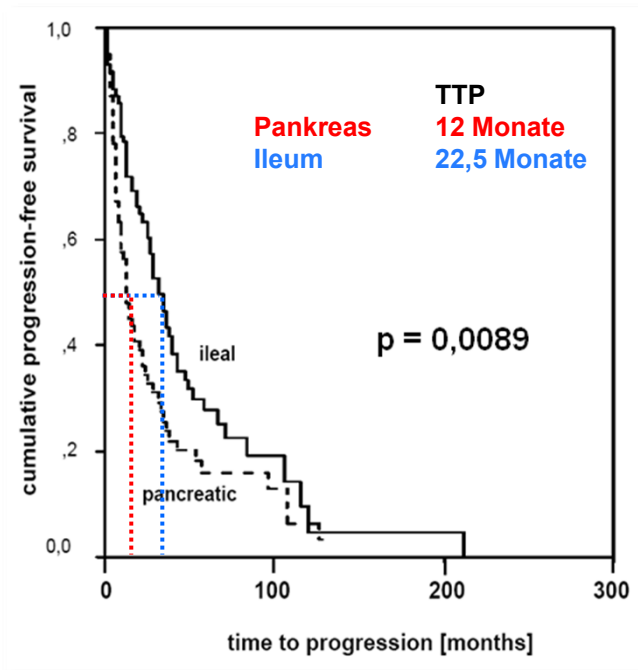
n = 285 in 12 Monaten

05/2004-04/2005
[/100 000]

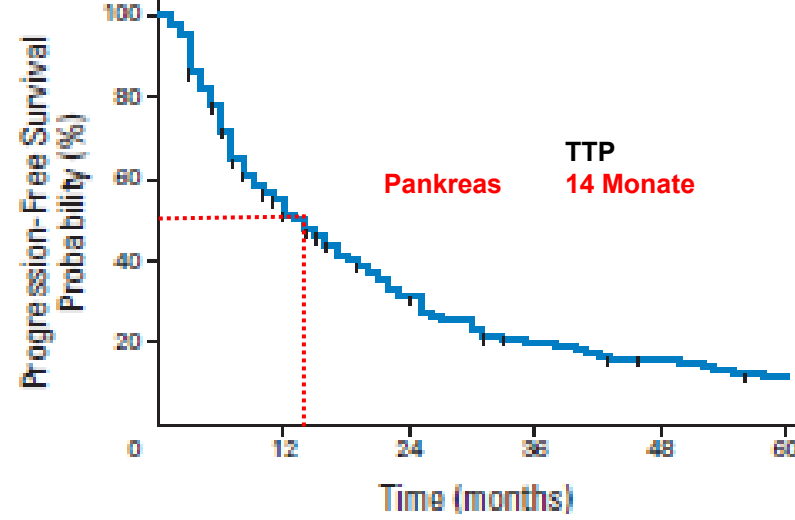


Niederle et al ERC 2010

Prognose: Spielt die Primärtumorlokalisation eine Rolle?



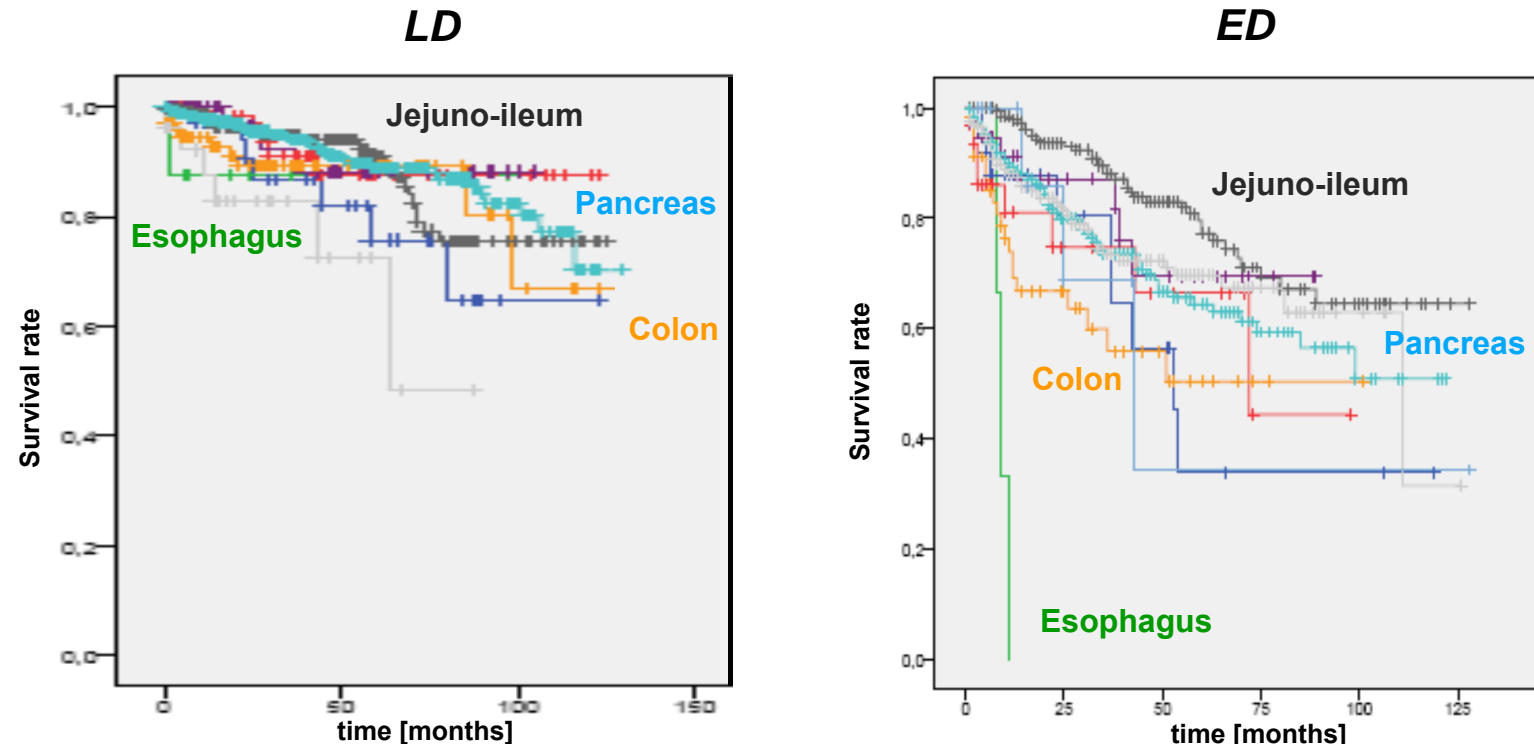
Pape et al. *Endocr Relat Cancer* 2008



Panzuto et al. *JCO* 2011

Outcome differiert zwischen Primärtumoren... in Abhängigkeit von Tumorausbreitung und Grading

NET
REGISTER



Primary	5-YSR	Proportion of G3-NEC/PDEC	
Esophagus	87 %	all n.s.	100 %
Pancreas	89 %		20 %
Jejuno-ileum	91 %		5 %
Colon	89 %		50 %

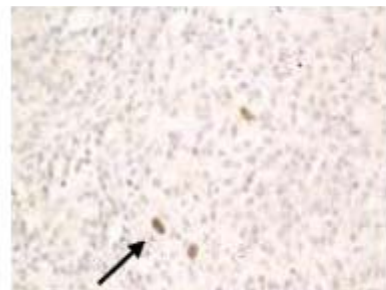
Primary	5-YSR	p-values
Esophagus	0 %	< 0.001] 0.001] 0.015] 0.016
Pancreas	64 %	
Jejuno-ileum	77 %	
Colon	50 %	

aktuelle WHO-Klassifikation von NEN

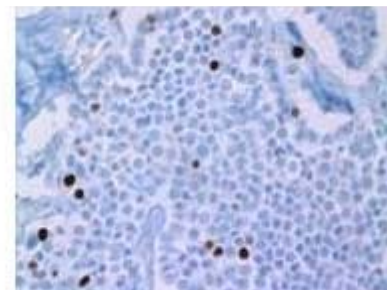
WHO 2000	WHO 2010	Ki67-Index (%)	histologischer Differen- zierungsgrad	Größe	Metas- tasen	Dignität
WDET	NET - G1	≤ 2	gut	≤ 1-2 cm	-	benigne
WDEC	NET - G2	3 - 20	gut	> 2 cm	+	niedriggradig maligne
PDEC	NEC - G3	> 20	schlecht, groß- oder kleinzellig	jede	+	hochgradig maligne

Capella et al *Virchows Arch* 1995
Solcia, Klöppel & Sabin *WHO* 2000
Rindi et al *Virchows Arch* 2006
Rindi et al *Virchows Arch* 2007
Klimstra et al *Pancreas* 2010

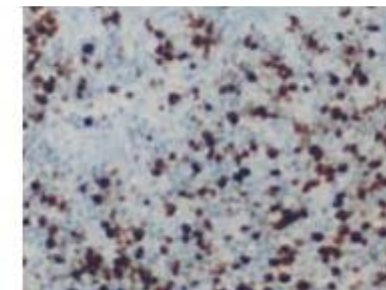
G1 ($\leq 2\%$)



G2 (3-20%)



G3 (>20%)

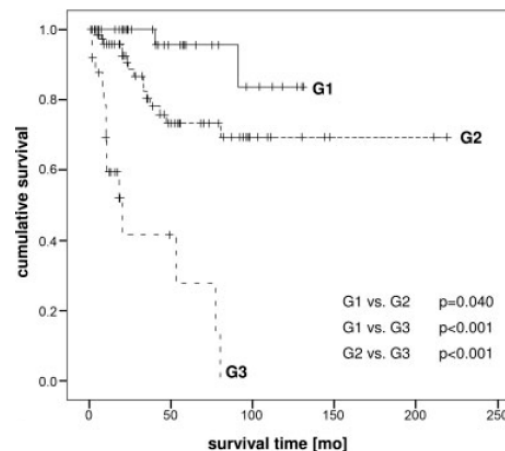
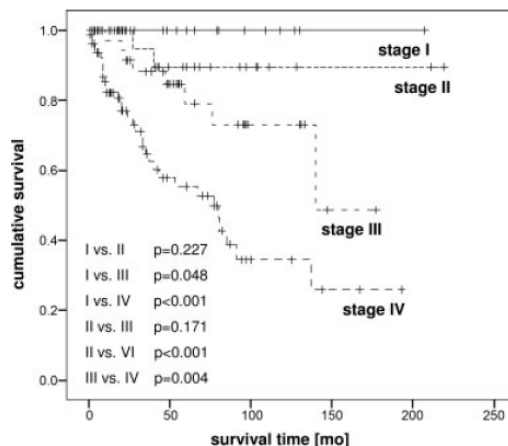


TNM-Klassifikation

	ENETS	UICC
T – Primärtumor		
Tx	Primärtumor nicht beurteilt/beurteilbar	
T0	kein Nachweis eines Primärtumors	
T1	Tumor ≤ 2 cm, auf das Pankreas begrenzt	Tumor ≤ 2 cm, auf das Pankreas begrenzt
T2	Tumor > 2 cm ≤ 4 cm, auf das Pankreas begrenzt	Tumor > 2 cm, auf das Pankreas begrenzt
T3	Tumor > 4 cm oder mit Invasion von Duodenum oder DHC, auf das Pankreas begrenzt	nicht mehr auf das Pankreas begrenzter Tumor
T4	Tumor mit Infiltration von benachbarten Organen (Magen, Milz, Kolon, Nebennieren) oder großen Gefäßen (TC oder AMS)	Tumor mit Infiltration von TC oder AMS
N – regionale Lymphknotenmetastasen		
Nx	regionale Lymphknoten nicht beurteilt/beurteilbar	
N0	keine regionalen Lymphknotenmetastasen	
N1	regionale Lymphknotenmetastasen	
M – Fernmetastasen		
Mx	Fernmetastasen nicht beurteilt/beurteilbar	
M0	keine Fernmetastasen	ENETS: Rindi et al Virchows Arch 2006 ENETS: Rindi et al Virchows Arch 2007
M1	Fernmetastasen	AJCC/UICC: Sabin et al 2009 Klimstra et al Am J Surg Pathol 2010 Klöppel et al Virchows Arch 2010
DHC: Ductus hepaticus communis, TC: Truncus coeliacus, AMS: A. mesenterica superior.		

Prognose von NEN: ENETS-TNM-Staging & Grading

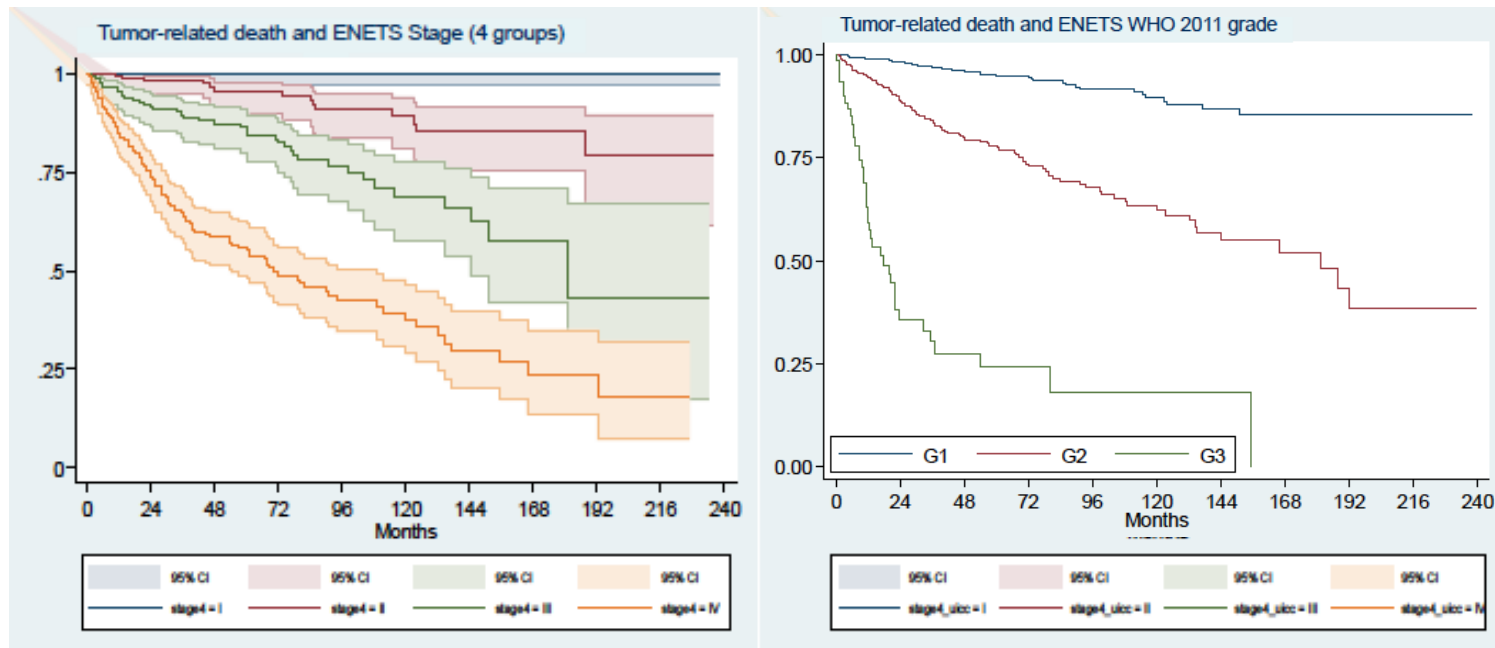
Stadium I	T1	N0	M0
Stadium IIa	T2	N0	M0
Stadium IIb	T3	N0	M0
Stadium IIIa	T4	N0	M0
Stadium IIIb	jedes T	N1	M0
Stadium IV	jedes T	jedes N	M1



Classification	Survival rate, %
foregut	5 Years
TNM stage [†]	81.0
I	100
II	89.5
III	79.1
IV	55.4
Grade [‡]	
1	95.7
2	73.4
3	27.7

Pape et al. Cancer 2008

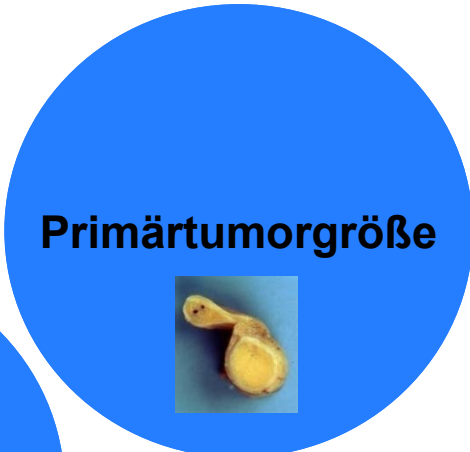
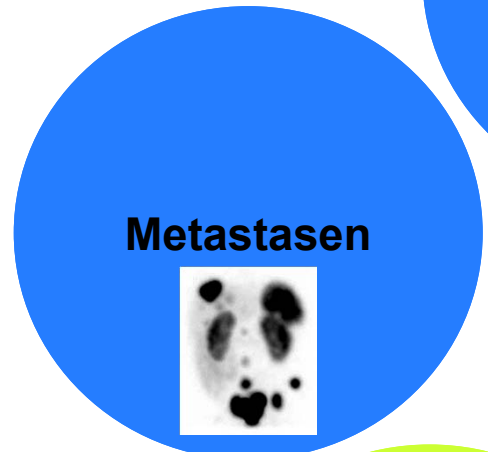
Prognose von NEN: TNM-Staging & Grading



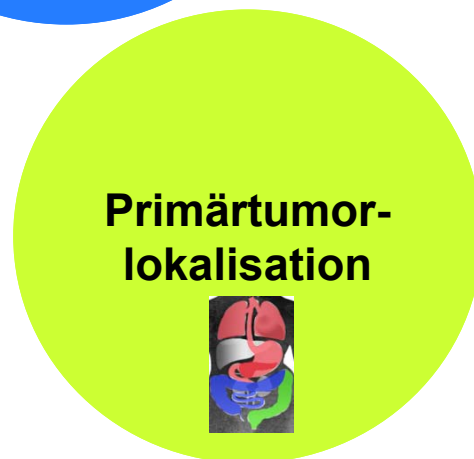
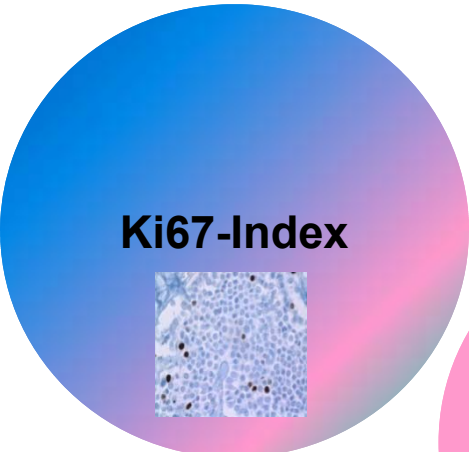
Rindi et al. *JNCI* (under revision)

Pathologie bei ED definiert die Prognose bei GEP-NEN

TNM



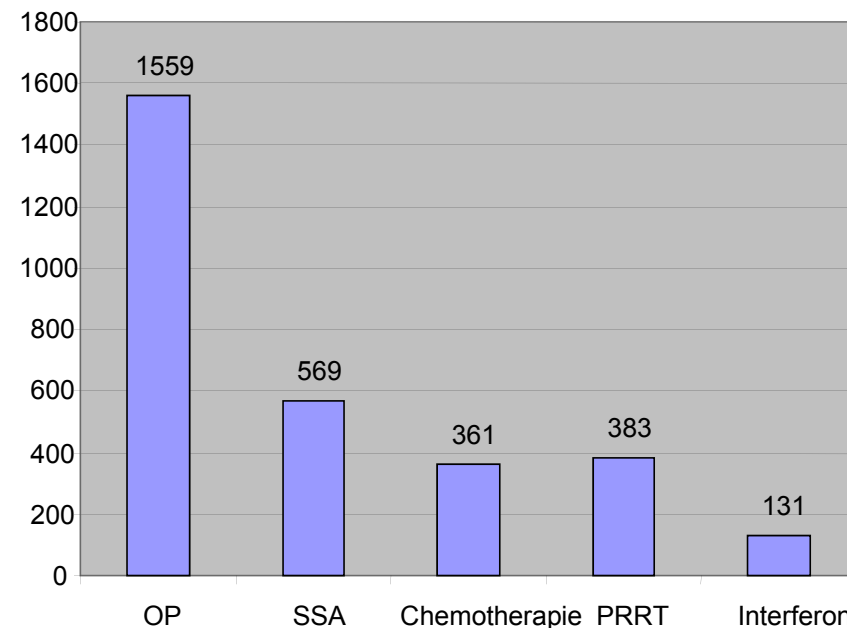
WHO



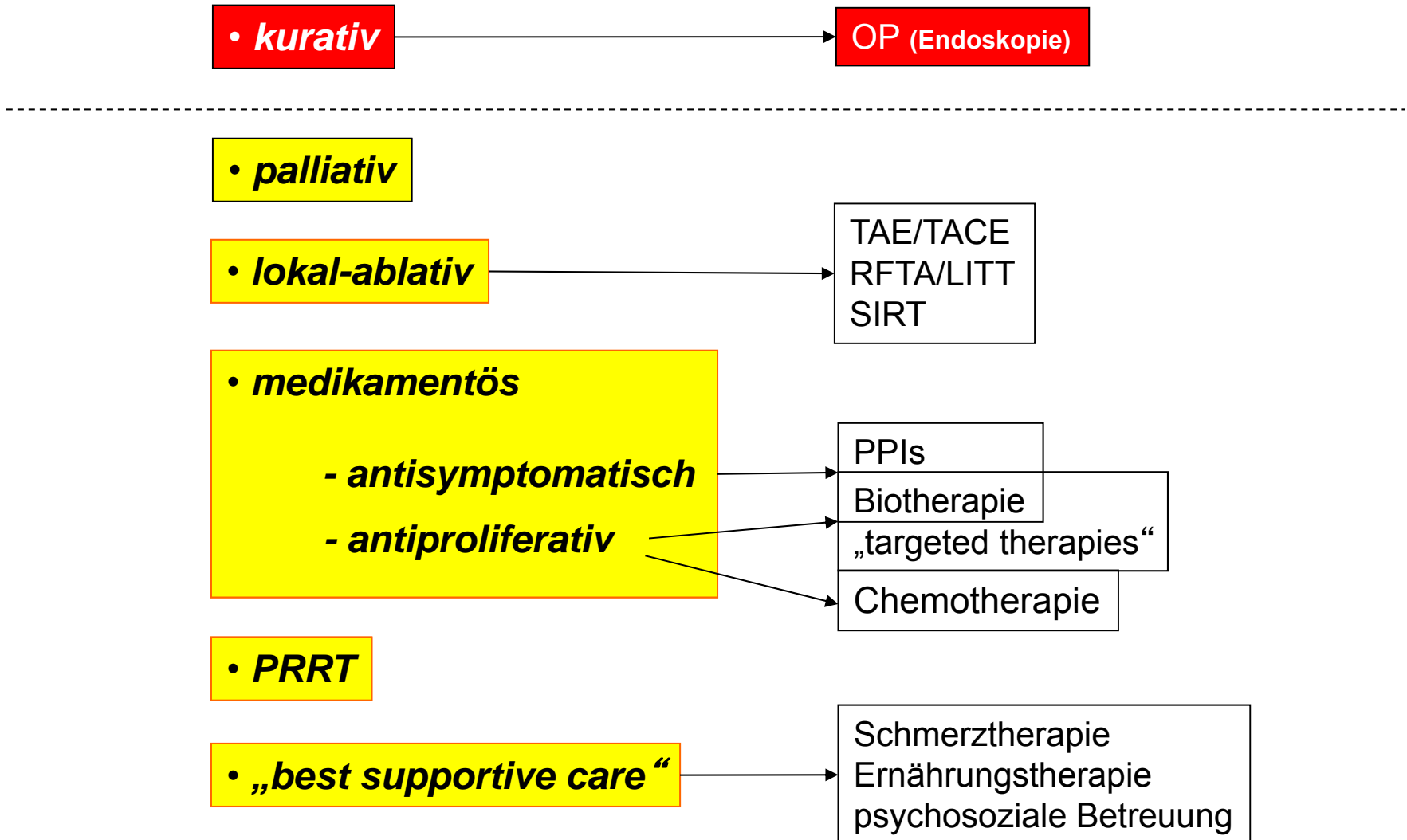
Dokumentierte Therapien im NET-Register



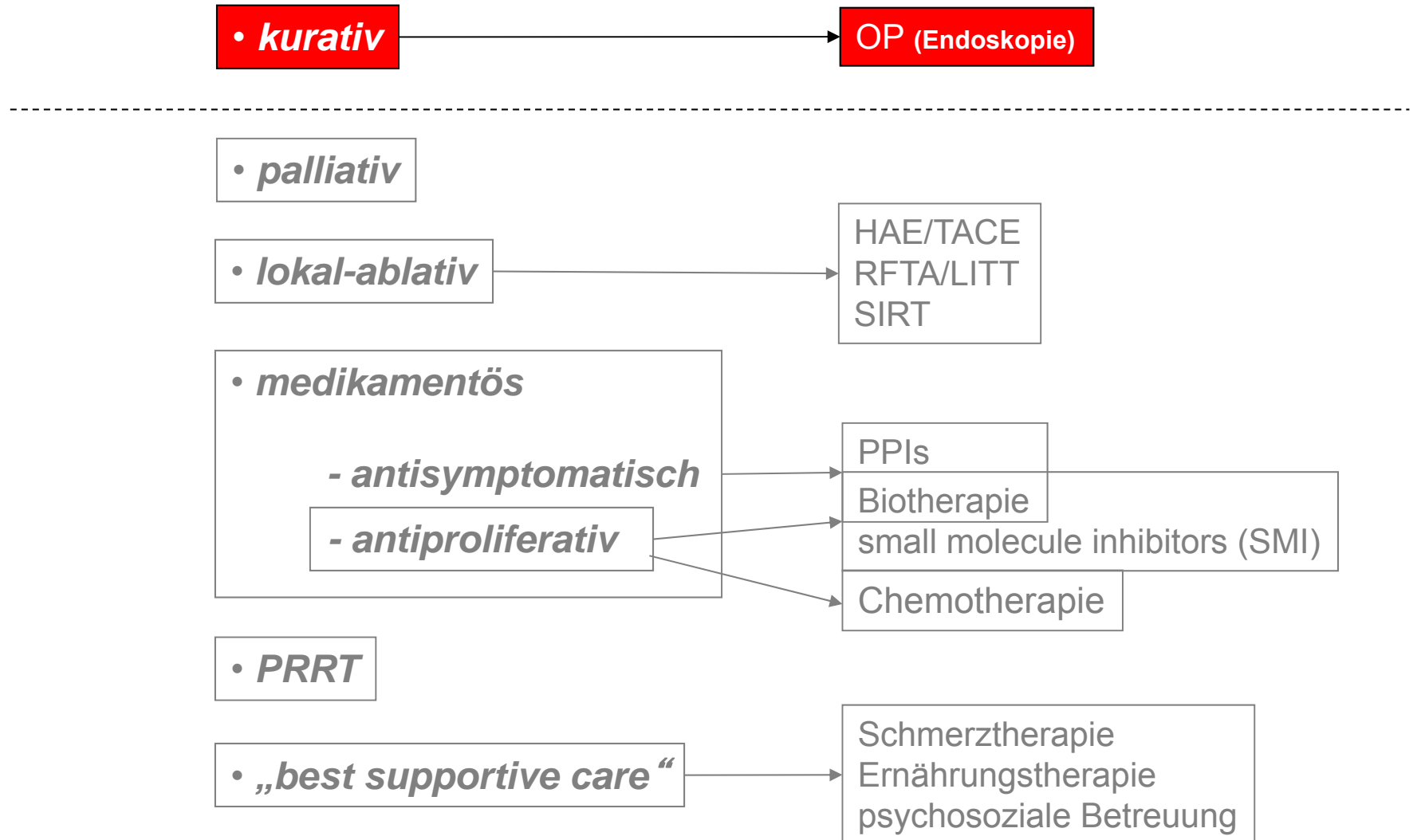
Anzahl durchgeföhrter Therapien



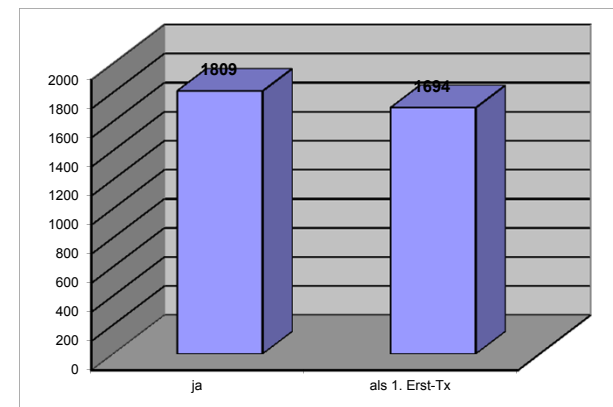
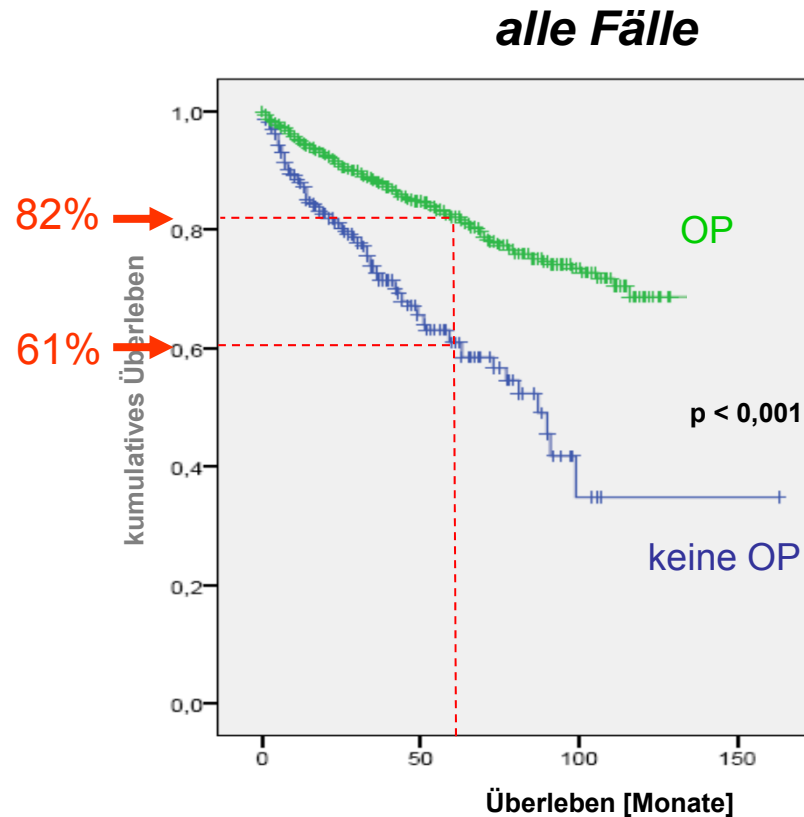
Behandlungsstrategien für GEP-NEN



Behandlungsstrategien für GEP-NET

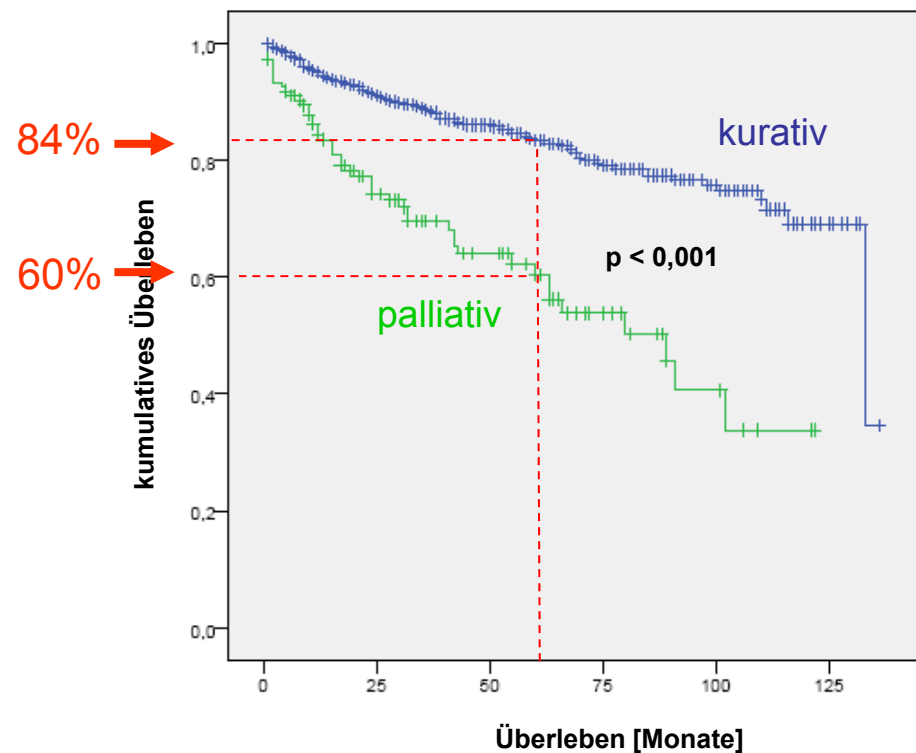


Ergebnisse der OP



Ergebnisse der OP: OP-Ziel

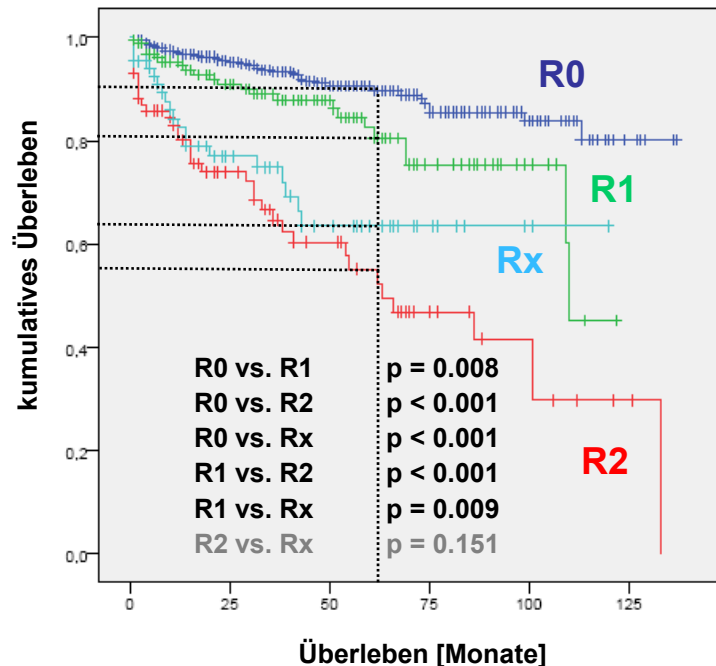
operierte Fälle



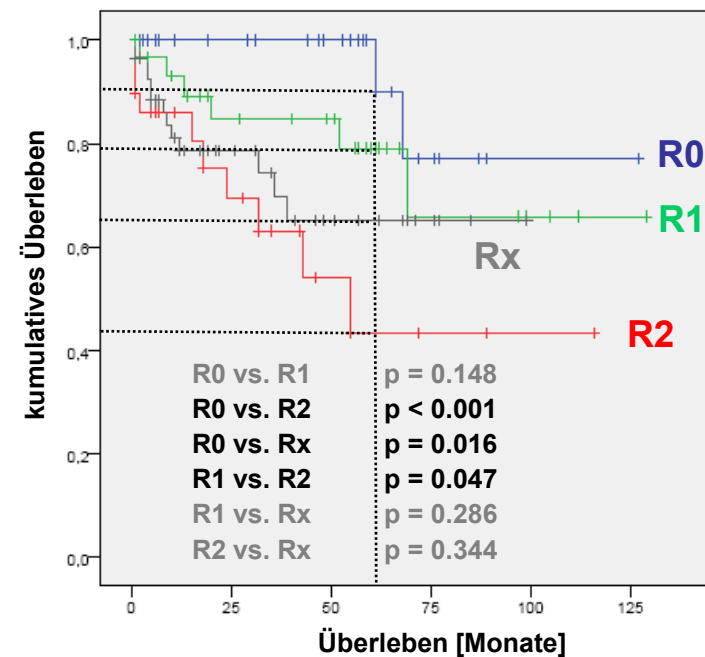
Ergebnisse der kurativ intendierten OP: Resektionsstatus



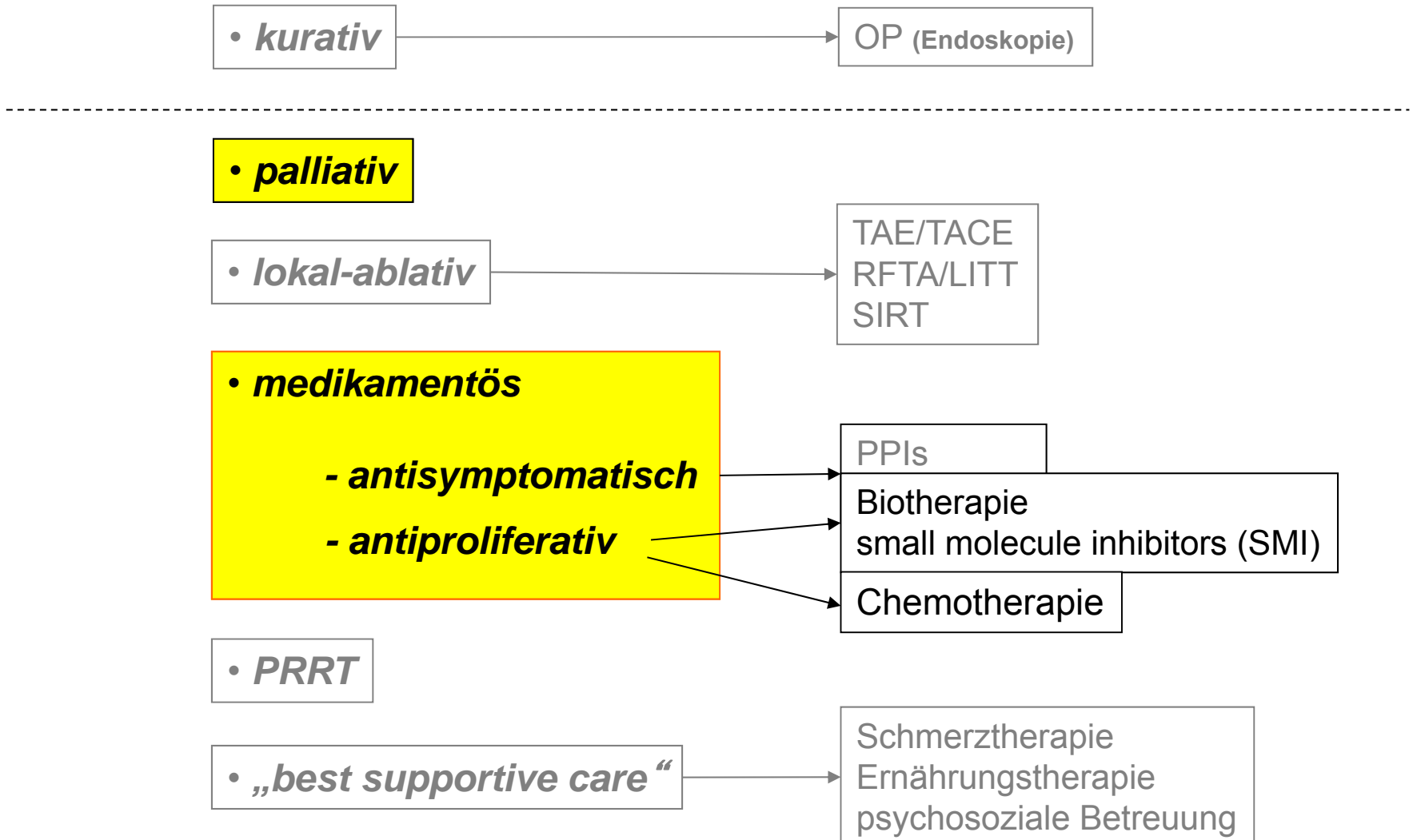
Primarius-OP



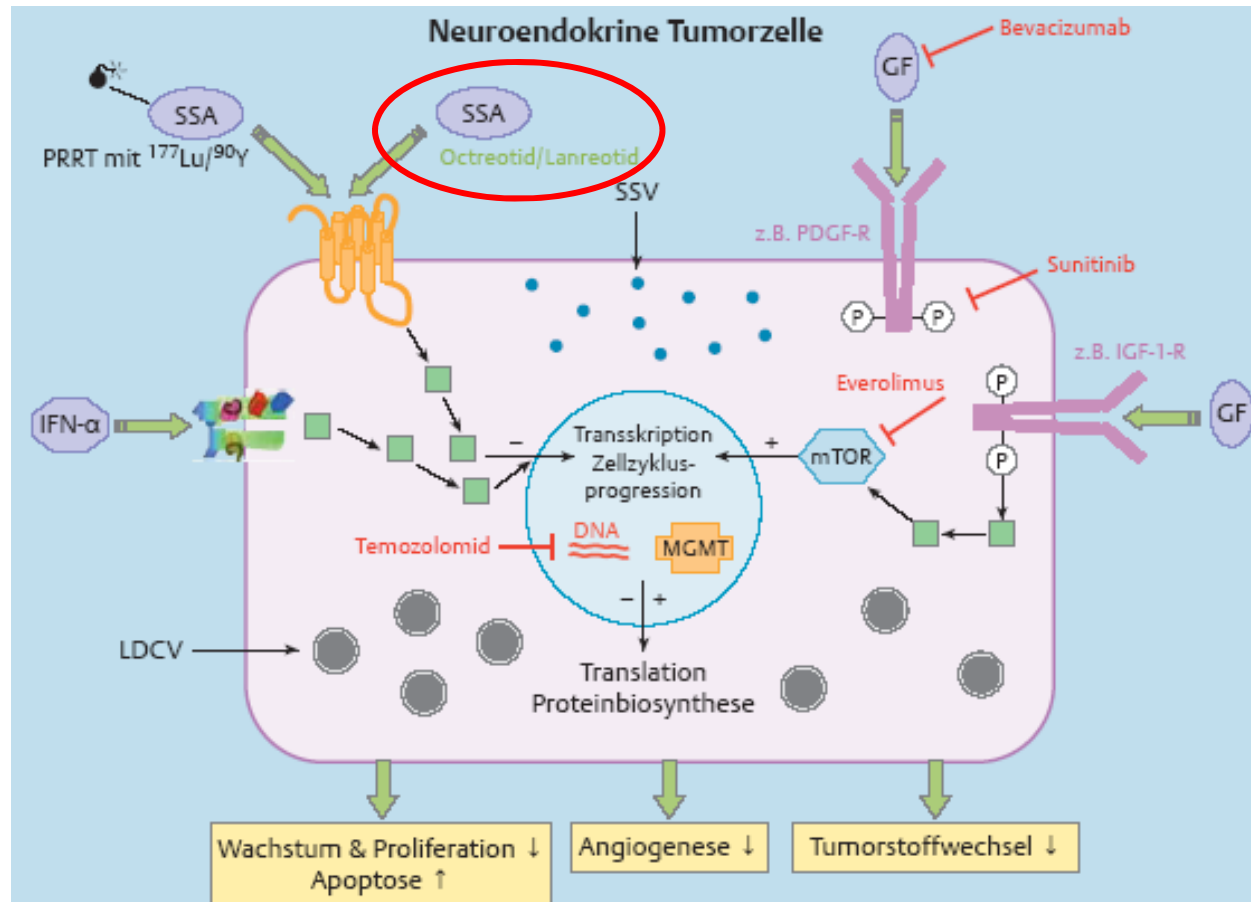
Metastasen-OP



Behandlungsstrategien für GEP-NEN



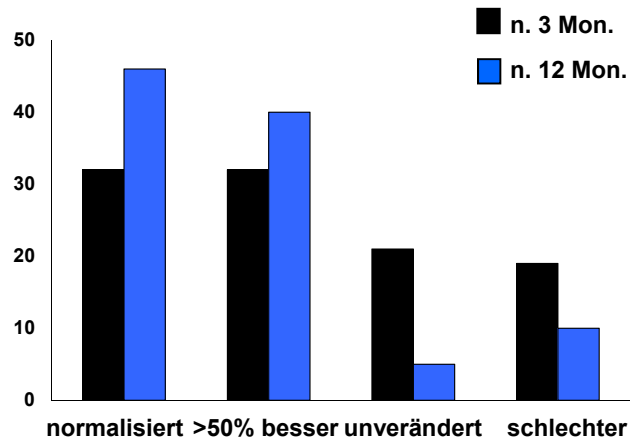
Tumorbioologie von NEN



antisymptomatische Biotherapie mit Somatostatinanalogen

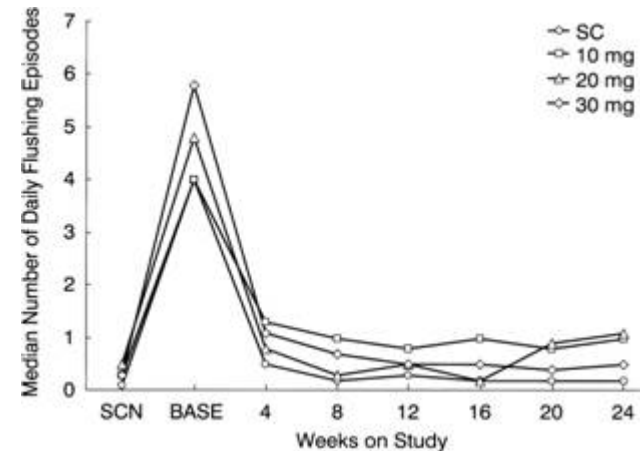
- **antisymptomatisches Ansprechen:** 64-85%
- **biochemisches Ansprechen:** 40-98%

Effekt von Octreotide s.c.
Stuhlgangsfrequenz



Arnold et al. Gut 1996

Effekt von Octreotide i.m.
Flushepisoden



Rubin et al. J Clin Oncol 1999

Di Bartolomeo et al. Cancer 1996

Rusziewski et al. Gut 1996

Eriksson et al. Ann Oncol 1997

antisymptomatische Biotherapie mit Somatostatinanalogen

Lanreotide und Octreotide sind klinisch ...

Symptomenhäufigkeit	Ocretotide			Lanreotid		
	Grp. A	B	ges.	Grp. A	B	ges.
↓ Flushepisoden > 50%	36	62	48	50	31	41
↓ Stuhlfrequenz > 50%	86	71	79	100	79	89

O'Toole et al. Cancer 2000

... & biochemisch gleichwertig:

Mediator		Ocretotide			Lanreotid		
		Grp. A	B	ges.	Grp. A	B	ges.
5-HIES [mg/24h]	bei Einschl.	57,4	77,0	81,8	87,8	94,3	91,4
	unter Tx	32,3	14,3	22,5	21,5	29,1	25,6
Serotonin [μmol/l]	bei Einschl.	2,85	3,52	3,21	3,44	3,98	3,74
	unter Tx	0,05	0,49	0,29	0,63	0,24	0,42

O'Toole et al. Cancer 2000

Faiss et al. JCO 2003

Rusziewski et al. Neuroendocrinology 2004

Biotherapie mit Somatostatinanalogen: antiproliferativ!

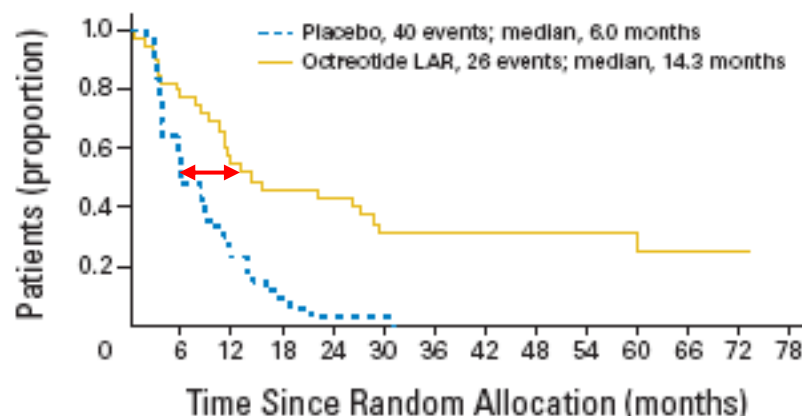
VOLUME 27 • NUMBER 28 • OCTOBER 1 2009

JOURNAL OF CLINICAL ONCOLOGY

Placebo-Controlled, Double-Blind, Prospective, Randomized Study on the Effect of Octreotide LAR in the Control of Tumor Growth in Patients With Metastatic Neuroendocrine Midgut Tumors: A Report From the PROMID Study Group

Anja Rinke, Hans-Helge Müller, Carmen Schade-Brittinger, Klaus-Jochen Klose, Peter Barth, Matthias Wied, Christina Mayer, Behnaz Aminossadati, Ulrich-Frank Pape, Michael Bläker, Jan Harder, Christian Arnold, Thomas Gress, and Rudolf Arnold

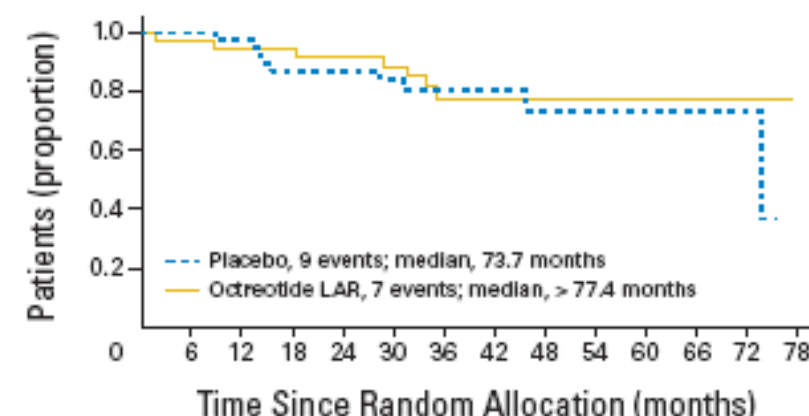
PFS



No. of patients at risk												
Placebo	43	21	9	3	1	1	0	0	0	0	0	0
Octreotide LAR	42	30	19	16	15	10	10	9	9	6	5	3

Log-rank test stratified by functional activity: $P = .000072$, HR = 0.34 (95% CI, 0.20 to 0.59)

OS



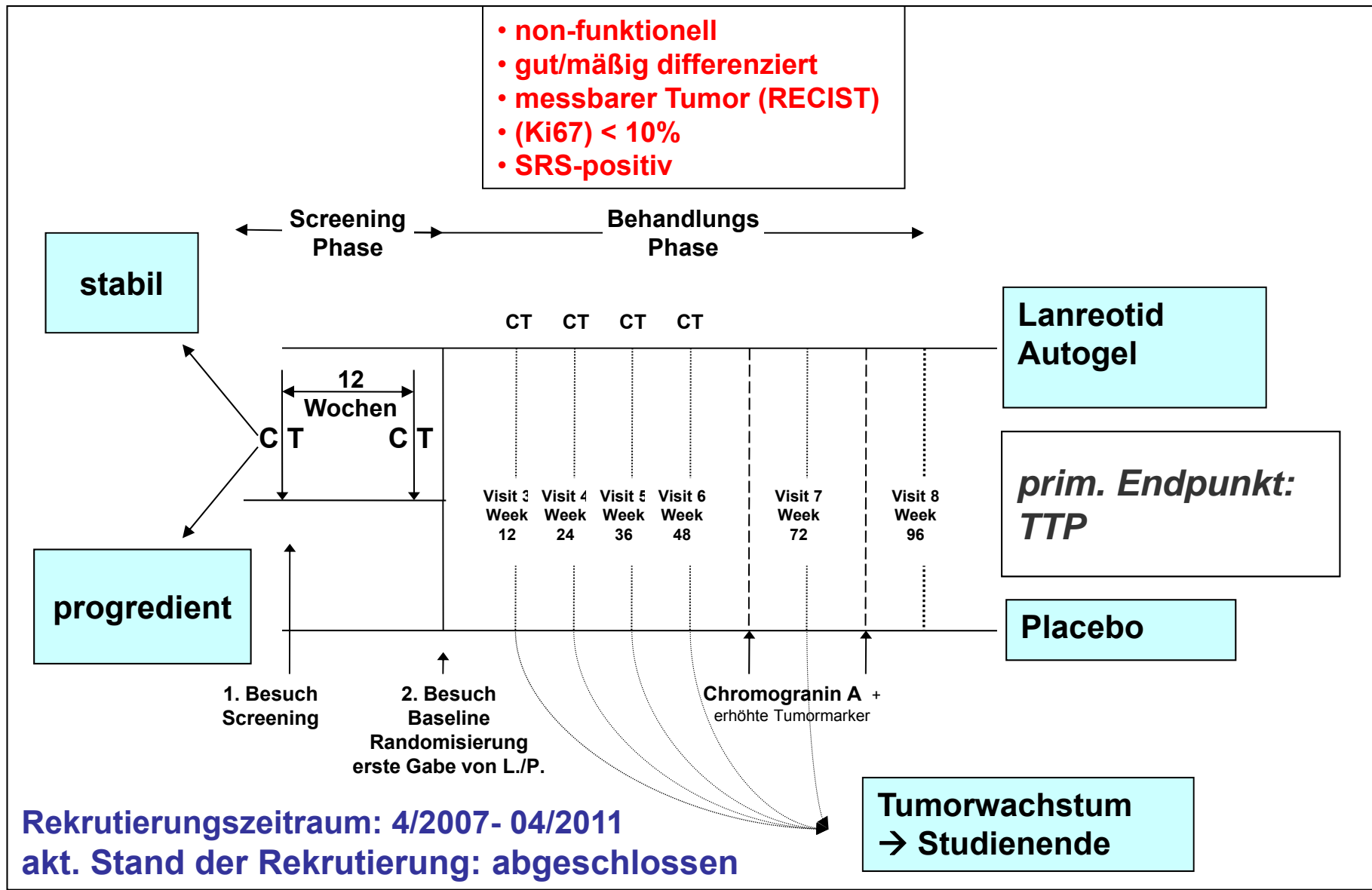
No. of patients at risk												
Placebo	43	41	39	29	27	25	19	14	11	8	6	4
Octreotide LAR	42	39	32	31	29	27	20	16	16	10	9	7

Log-rank test stratified by functional activity: $P = .77$, HR = 0.81 (95% CI, 0.30 to 2.18)

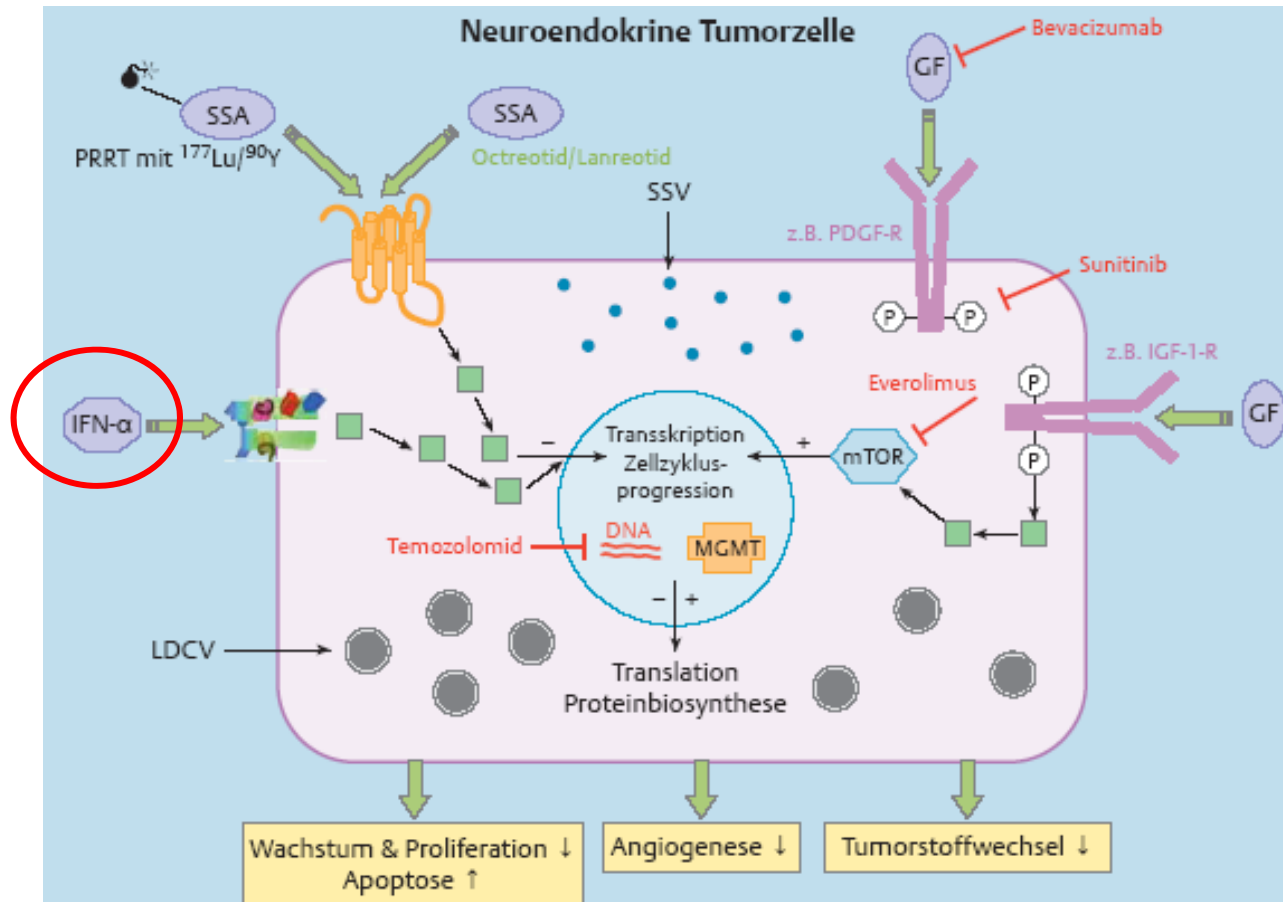


CHARITÉ CAMPUS VIRCHOW-KLINIKUM UNIVERSITÄTSMEDIZIN BERLIN

CLARINET-Studie: GEP-NET

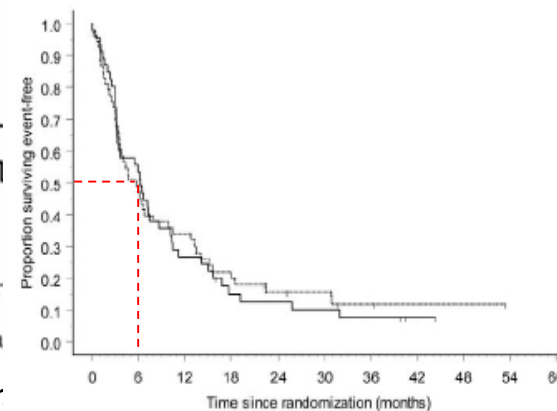
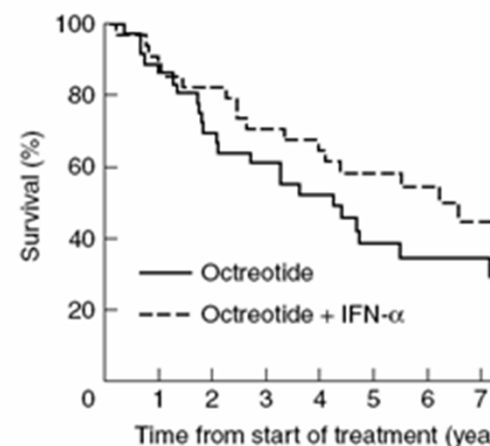
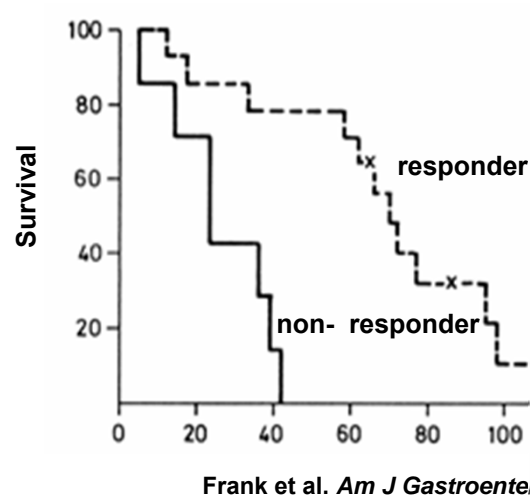


Tumorbioologie von NEN



Interferon alpha - noch ein Thema?

First author, year (Ref.)	n	Dose	Biochemical response (%)	Tumor response (%)
Carcinoid tumors				
Moertel, 1989 (465)	27	INF _{2a} 24 MU/m ² × 3/wk	39	20
Hanssen, 1989 (466)	19	INF α _{2b} 5 MU × 8/wk ± chemoembolization	40 (± 86)	10 (± 86)
Bartsch, 1990 (467)	18	r-INF _{2c} 2 MU/m ² × 12/wk	44	0
Valimaki, 1991 (478)	8	INF α 3 MU/m ² × 7/wk	50	12.5
Oberg, 2000 (461)	111	INF α × 7/wk r-INF _{2b} 5 MU/m ² × 3/wk	42	15
Tiensuu Janson, 1992 (485)	22	r-INF _{2a} 3 MU/m ² × 3/wk	25	17
		r-INF-α ₂ × 3 MU/wk + STZ + adriamycin	0	0
Joensuu, 1992 (469)	14	INF α 6–30 MU/m ² /wk	50	0
Bajetta, 1993 (470)	34	INF α _{2a} 5 MU × 3–7/wk	57	11.8
Pancreatic tumors				
Bajetta, 1993 (470)	4	INF α _{2a} 5 MU × 3–7/wk		0
Eriksson 1993 (464)	57	r-INF-α _{2b} 5–6 MU/m ² × 3–5/wk	51	12

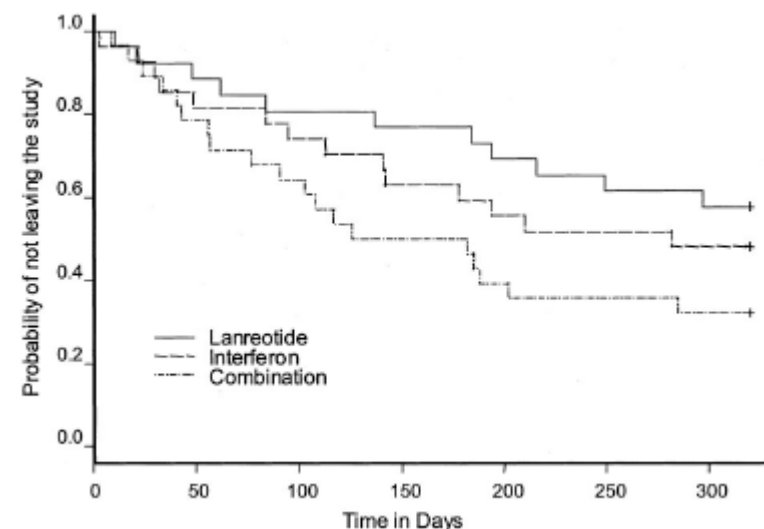
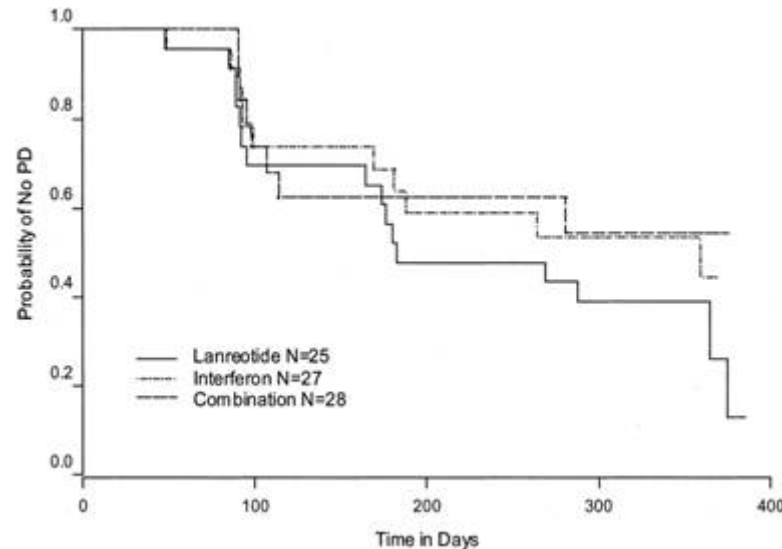


Kombinationsbiotherapie IFN + SSA - noch ein Thema?

Journal of Clinical Oncology, Vol 21, No 14 (July 15), 2003: pp 2689-2696

Prospective, Randomized, Multicenter Trial on the Antiproliferative Effect of Lanreotide, Interferon Alfa, and Their Combination for Therapy of Metastatic Neuroendocrine Gastroenteropancreatic Tumors—The International Lanreotide and Interferon Alfa Study Group

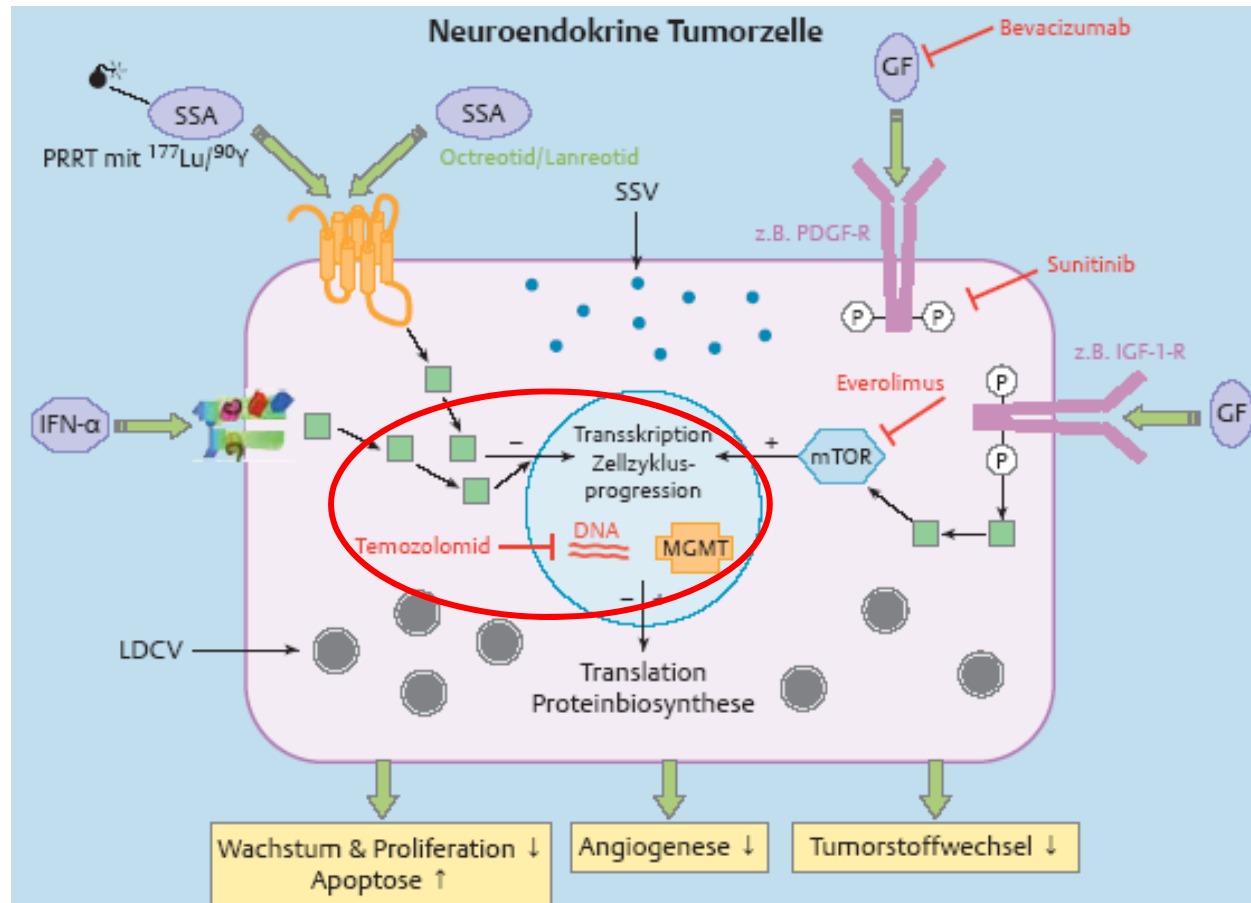
By Siegbert Faiss, Ulrich-Frank Pape, Michael Böhmig, Yvonne Dörfel, Ulrich Mansmann, Werner Golder, Ernst Otto Riecken, and Bertram Wiedenmann



- verbessert die Symptomenkontrolle bei Versagen der Monotherapie
- verbessert nicht das Überleben
- evtl. verbesserte TTP in midgut NET bzw. Respondern
- häufigere und schwere Nebeneffekte
- günstigeres NW-Profil mit PEGyliertem IFN

Pape & Wiedenmann Cancer Treat Rev 2003
Pavel et al J Interferon Cytokine Res 2006

Tumorbiologie von NEN



Chemotherapie bei G1/2-Pankreas-NET: STZ/5-FU

Streptozotocin (STZ)	500 mg/m ² /d, Tag 1-5
5-FU oder	400 mg/m ² /d, Tag 1-5, Wh. Tag 43-47 oder
Doxorubicin	50 mg/m ² /d, Tag 1 und 22

Moertel et al. *N Engl J Med* 1992

**Ansprechraten
TPP**

**30 - 40%
12 - 18 Monate**

De Vries et al. *Cancer* 2000
O 'Toole et al. *Neuroendocrinology* 2004
Gonzalez et al. *Br J Cancer* 2003
Kouvaraki et al. *JCO* 2004
Pavel et al. *Int J Gastrointestinal Cancer* 2005



prätherapeutisch



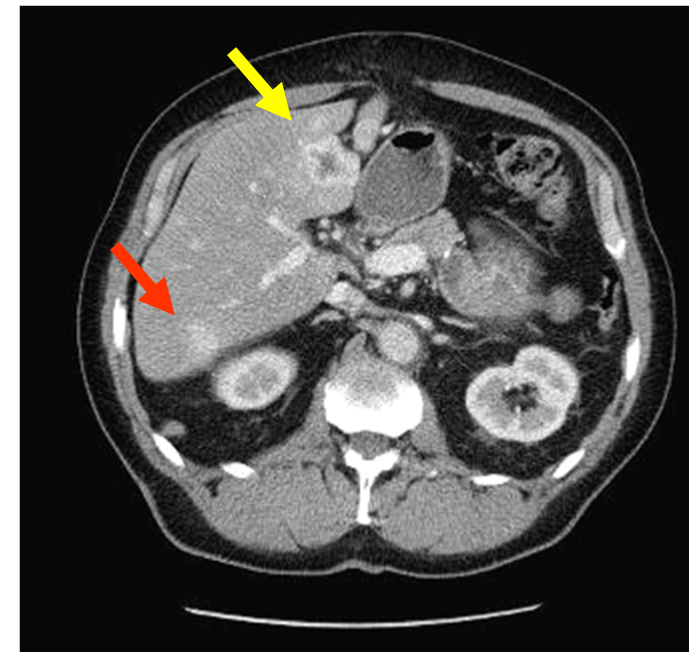
posttherapeutisch

2nd-line Chemotherapie bei G1/2 Pankreas-NET: TEMCAP

Temozolomid (TMZ) 200 mg/m²/d, Tag 1-5 , Wh. Tag 28
Capecitabine 750 mg/m²/bid, Tag 1-14, Wh. Tag 28



prätherapeutisch



posttherapeutisch

max. Tumorresponse nach 8 Zyklen über 6 Monate

Temozolomid/Capecitabine

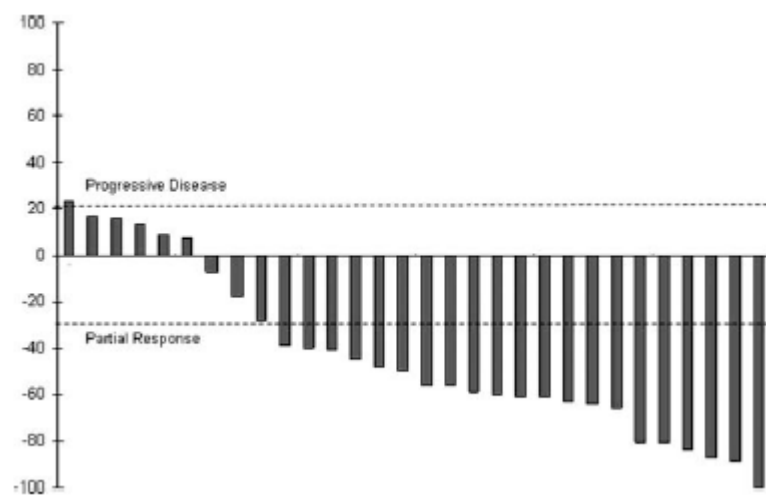
progrediente G1/2-Pankreas-NET

1st-line-CTX

n=30
(PD vor CTx: 20 [67%])
im Mittel 8 Zyklen

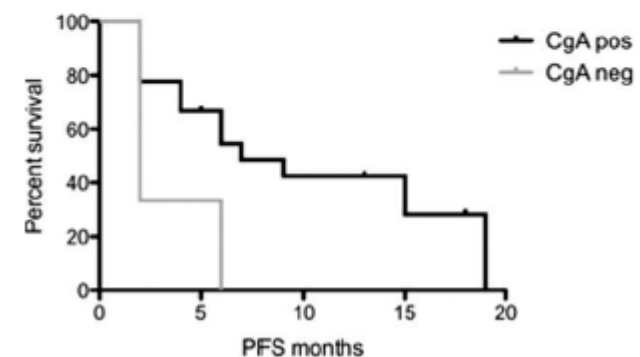
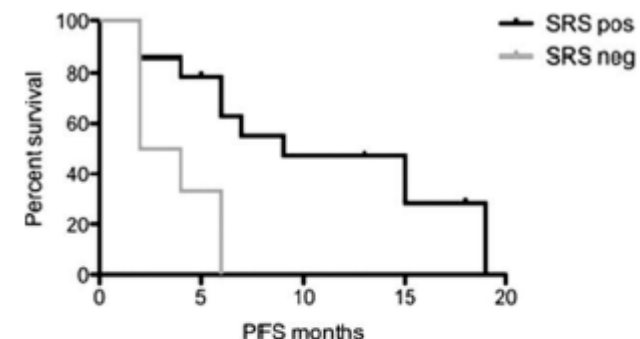
objektives Ansprechen:
PR 70% (21)
SD 27% (8)
PD 3% (1)

mediane TTP: 13,5 Monate



Strosberg et al. Cancer 2010

bei G3-NEC/PDEC:



Welin et al. Cancer 2011

Colon-NEC unter 1st-line Cisplatin/Etoposid

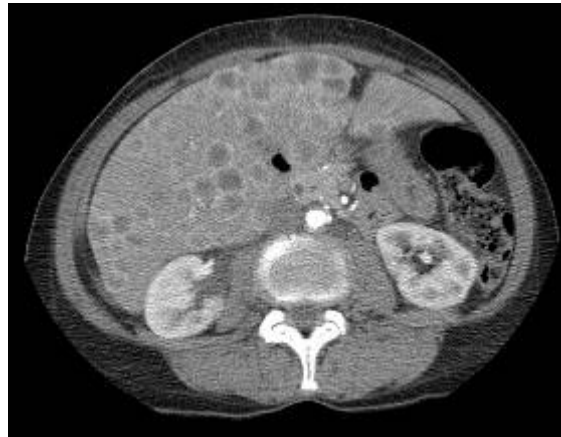
Cisplatin

45 mg/m², Tag 2-3 , Wh. Tag 28

Etoposid

130 mg/m², Tag 1-3, Wh. Tag 28

Moertel et al Cancer 1991



prätherapeutisch



posttherapeutisch

Standard-1st-line Chemotherapie bei PDEC/G3-NEC

Outcome (n = 46; 18 PDEC):

OR	40-60 %
CR	17%
PR	50%
SD	33%
PD	0
PFS	9-11 Monate
Medianes OS	15-19 Monate
2-JÜR	20 %
5-JÜR	0 %

Moertel et al *Cancer* 1991

Mitry et al *Br J Cancer* 2000

Fjällskog et al *Cancer* 2001

Reference	Regimen	n	Objective response %	Duration of response months	Median survival months
Moertel et al. [22]	etoposide + cisplatin	18	67	8	19
Seitz et al. [28]	etoposide + cisplatin	11	54	-	- ¹
Mitry et al. [29]	etoposide + cisplatin	41	42	9	15

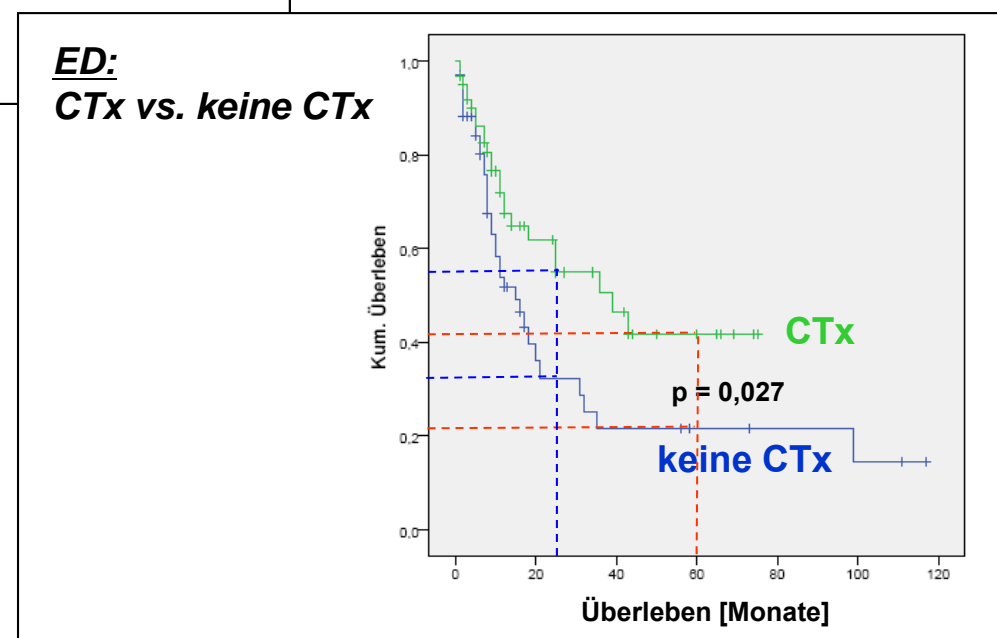
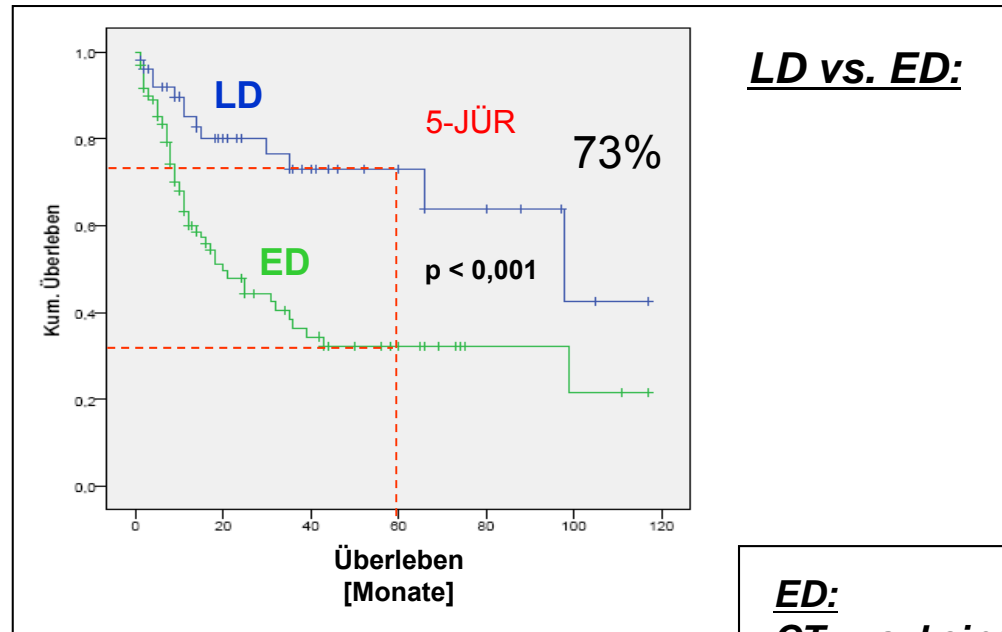
¹ 65% survival at 1 year.

O'Toole et al *Neuroendocrinology* 2005

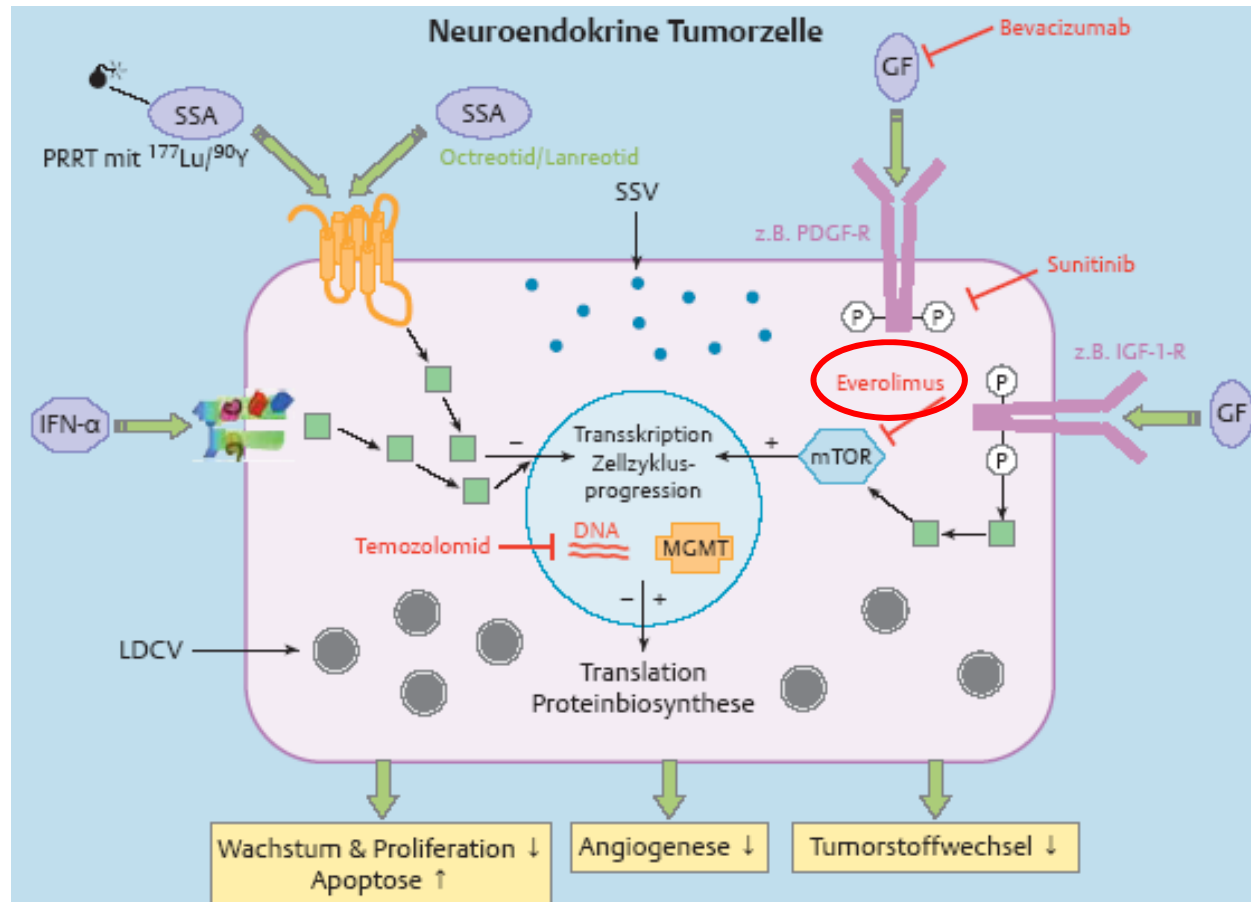
Outcome von PDEC / G3-NEC



NET
REGISTER



Tumorbioologie von NEN



RADIANT-1: Ergebnisse



Stratum 1 (n=115)
(RAD001)

OR

- PR 9.6 %
- SD 67.8 %
- PD 13.9 %

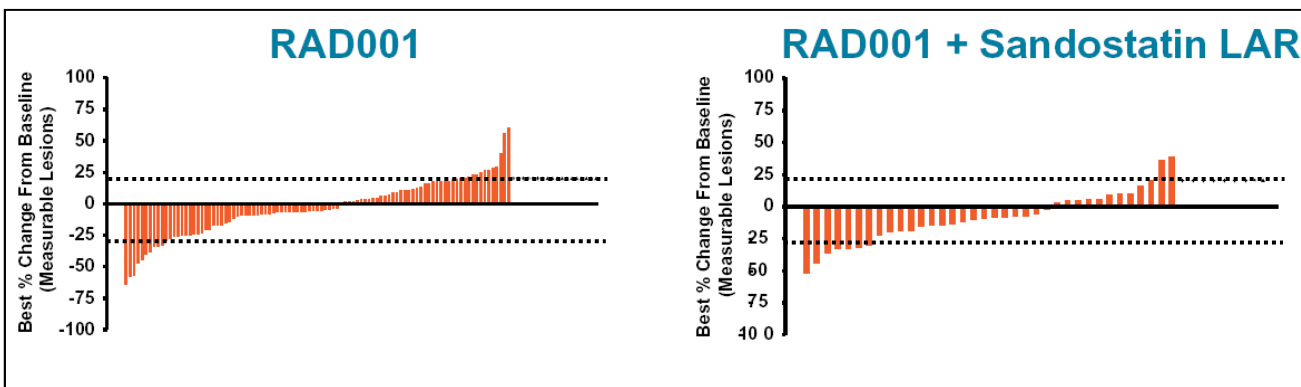
medianes PFS: 9.7 Monate

Stratum 2 (n=45)
(RAD001 + Sandostatin LAR ®)

OR

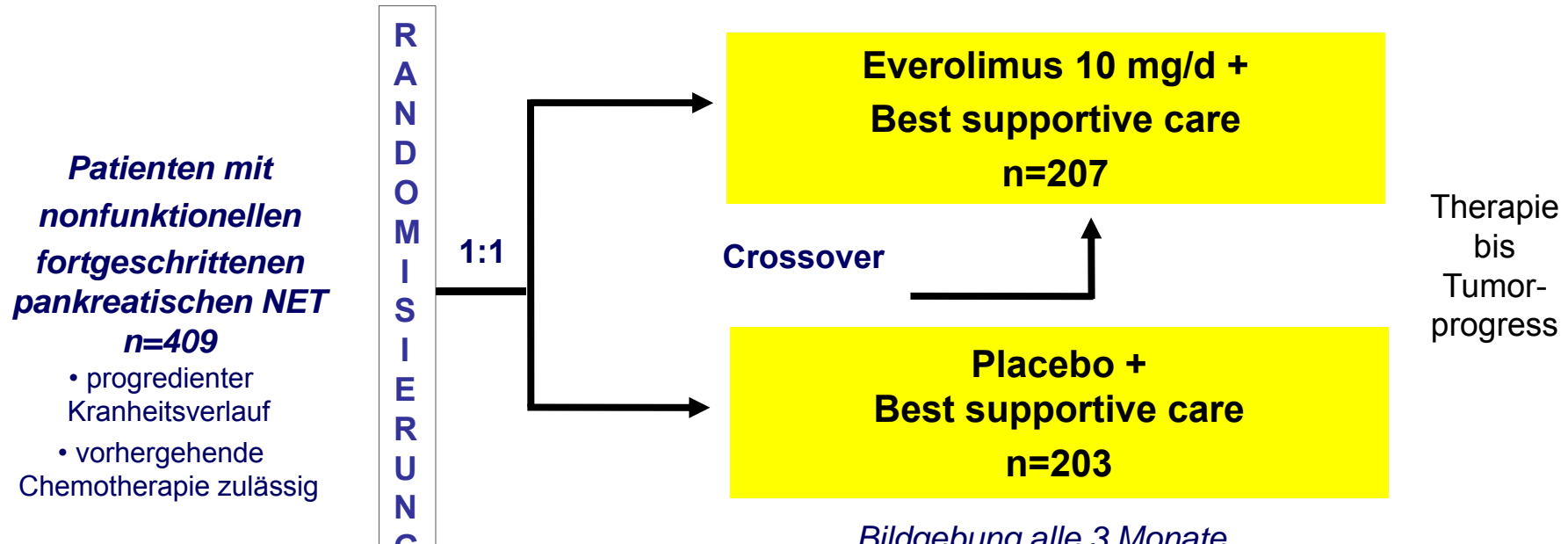
- PR 4.4 %
- SD 80.0 %
- PD 0 %

16.7 Monate



Yao et al JCO 2010

RADIANT-3: Phase III bei fortgeschrittenen pNET



primärer Endpunkt

- PFS

sekundäre Endpunkte

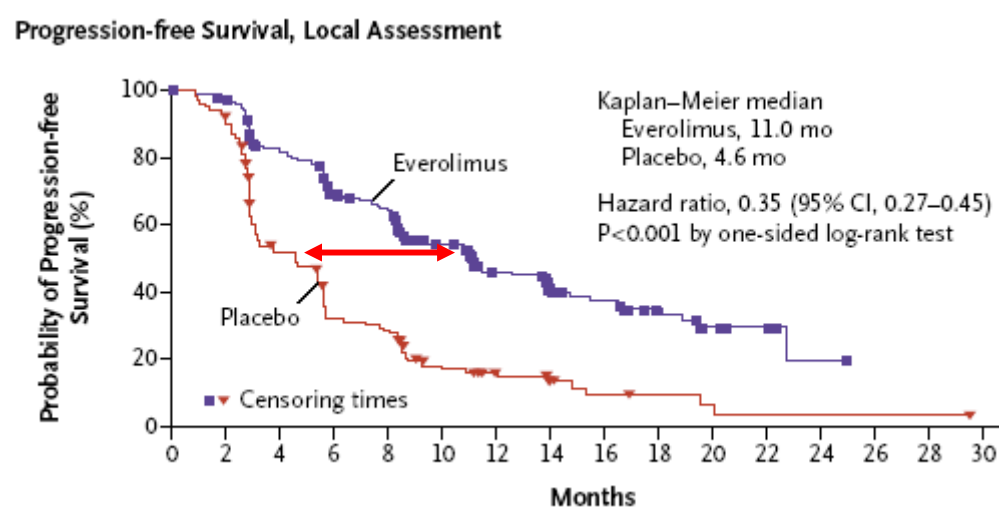
- ORR, Ansprechdauer
- Gesamtüberleben (OS)

Yao et al. NEJM 2011

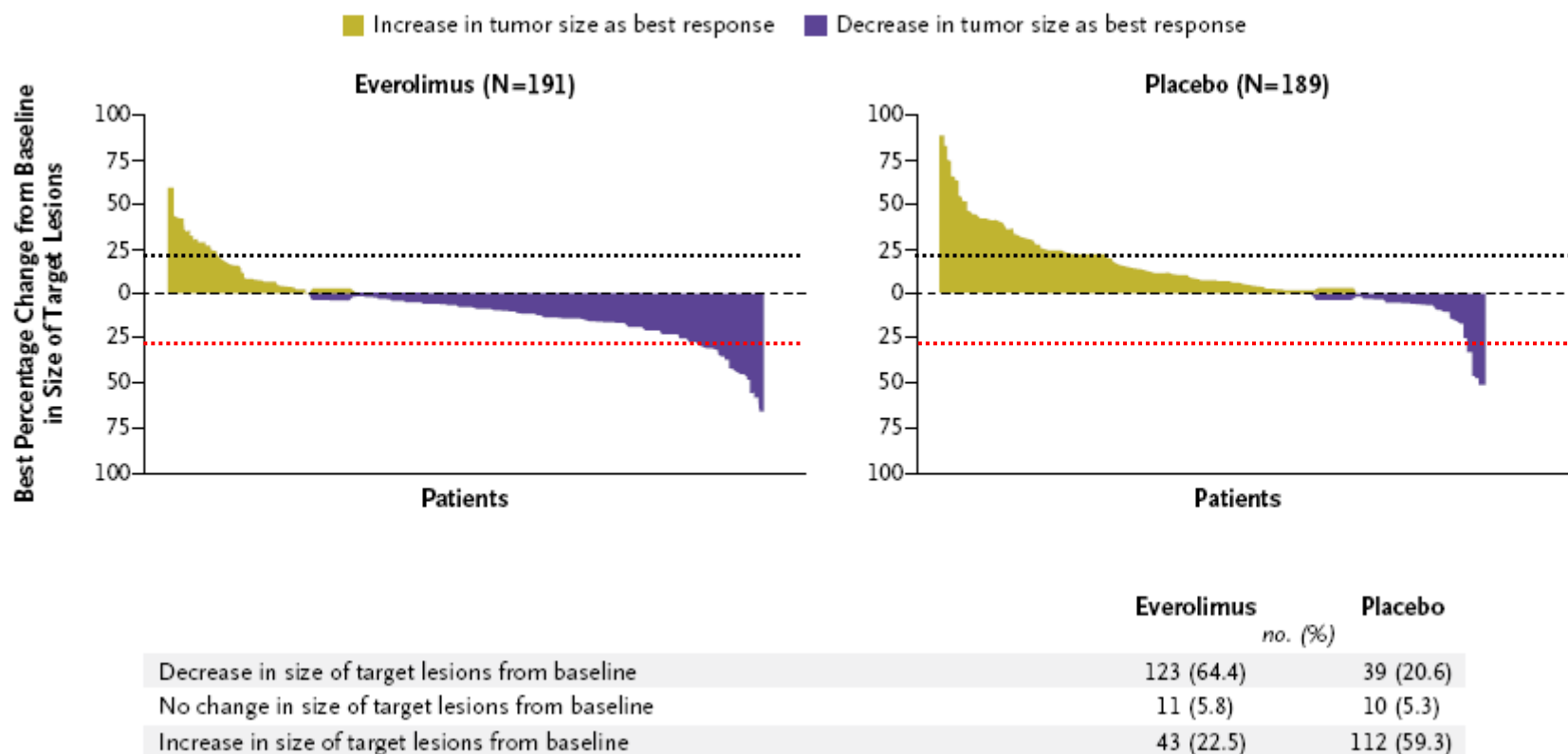
Everolimus bei Pankreas-NET (G1/G2): RADIANT-3-Trial

Everolimus for Advanced Pancreatic Neuroendocrine Tumors

James C. Yao, M.D., Manisha H. Shah, M.D., Tetsuhide Ito, M.D., Ph.D.,
Catherine Lombard Bohas, M.D., Edward M. Wolin, M.D.,
Eric Van Cutsem, M.D., Ph.D., Timothy J. Hobday, M.D., Takuji Okusaka, M.D.,
Jaume Capdevila, M.D., Elisabeth G.E. de Vries, M.D., Ph.D.,
Paola Tomassetti, M.D., Marianne E. Pavel, M.D., Sakina Hoosen, M.D.,
Tomas Haas, Ph.D., Jeremie Lincy, M.Sc., David Lebwohl, M.D.,
and Kjell Öberg, M.D., Ph.D., for the RAD001 in Advanced Neuroendocrine
Tumors, Third Trial (RADIANT-3) Study Group
N Engl J Med 2011;364:514-23.

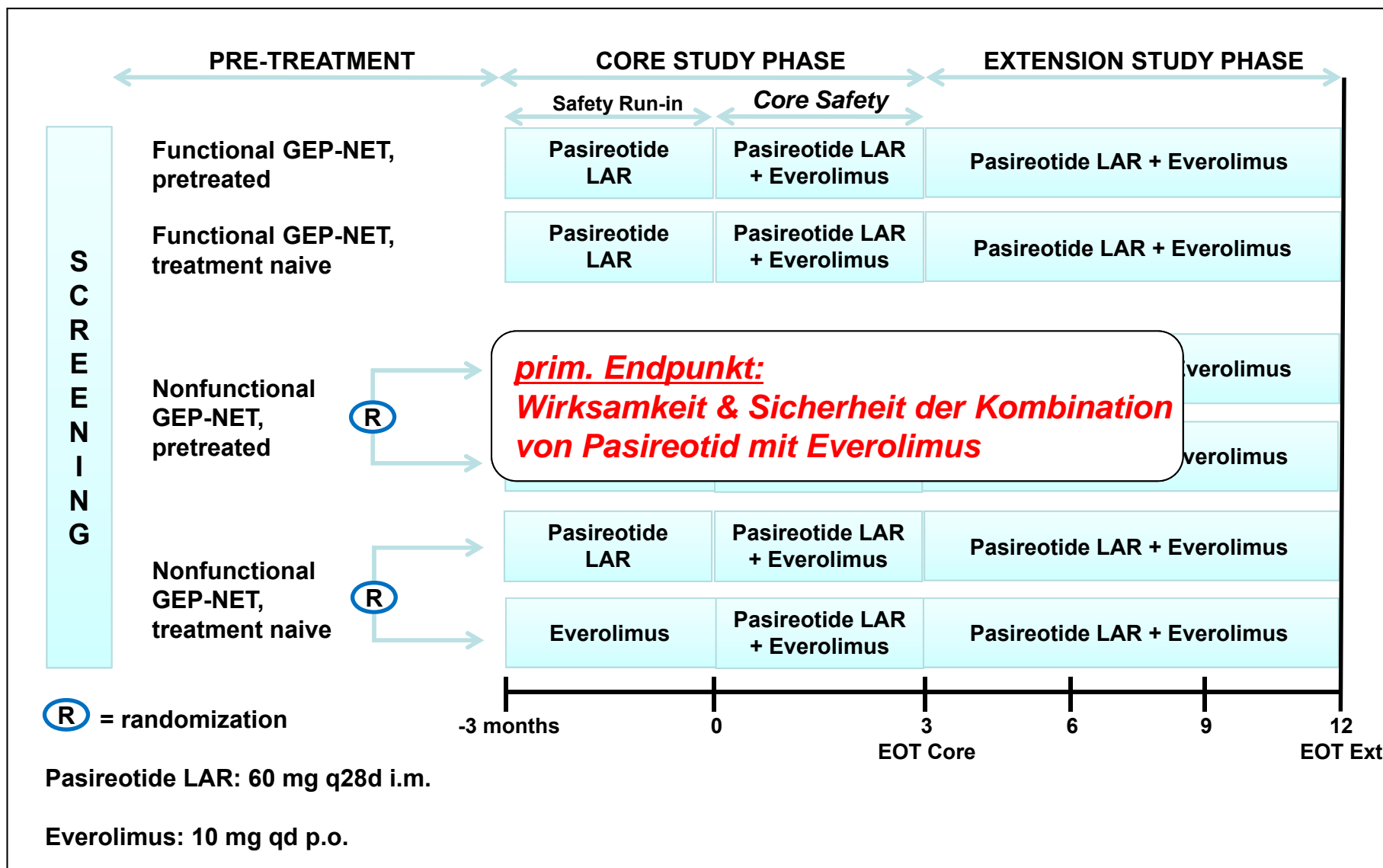


RADIANT-3: Response nach RECIST

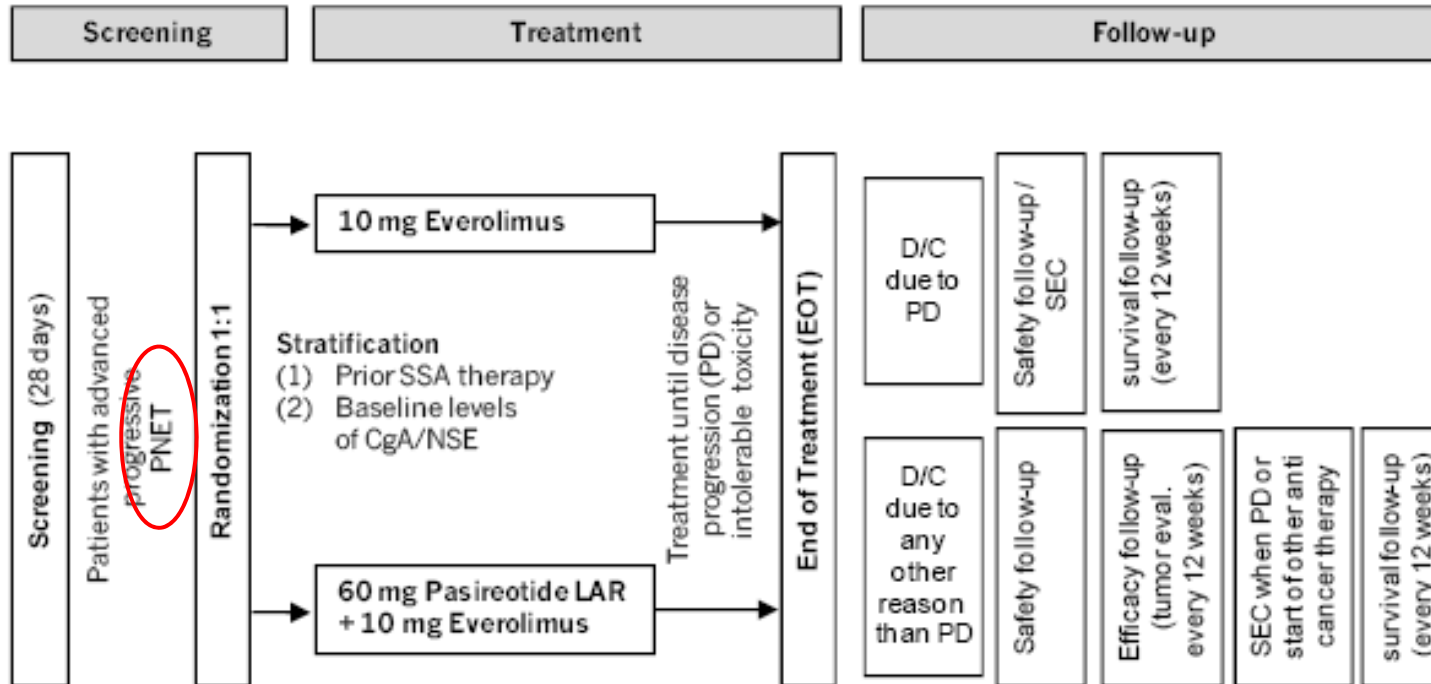


Yao et al. NEJM 2011

COOPERATE-1-Studie (Phase II)



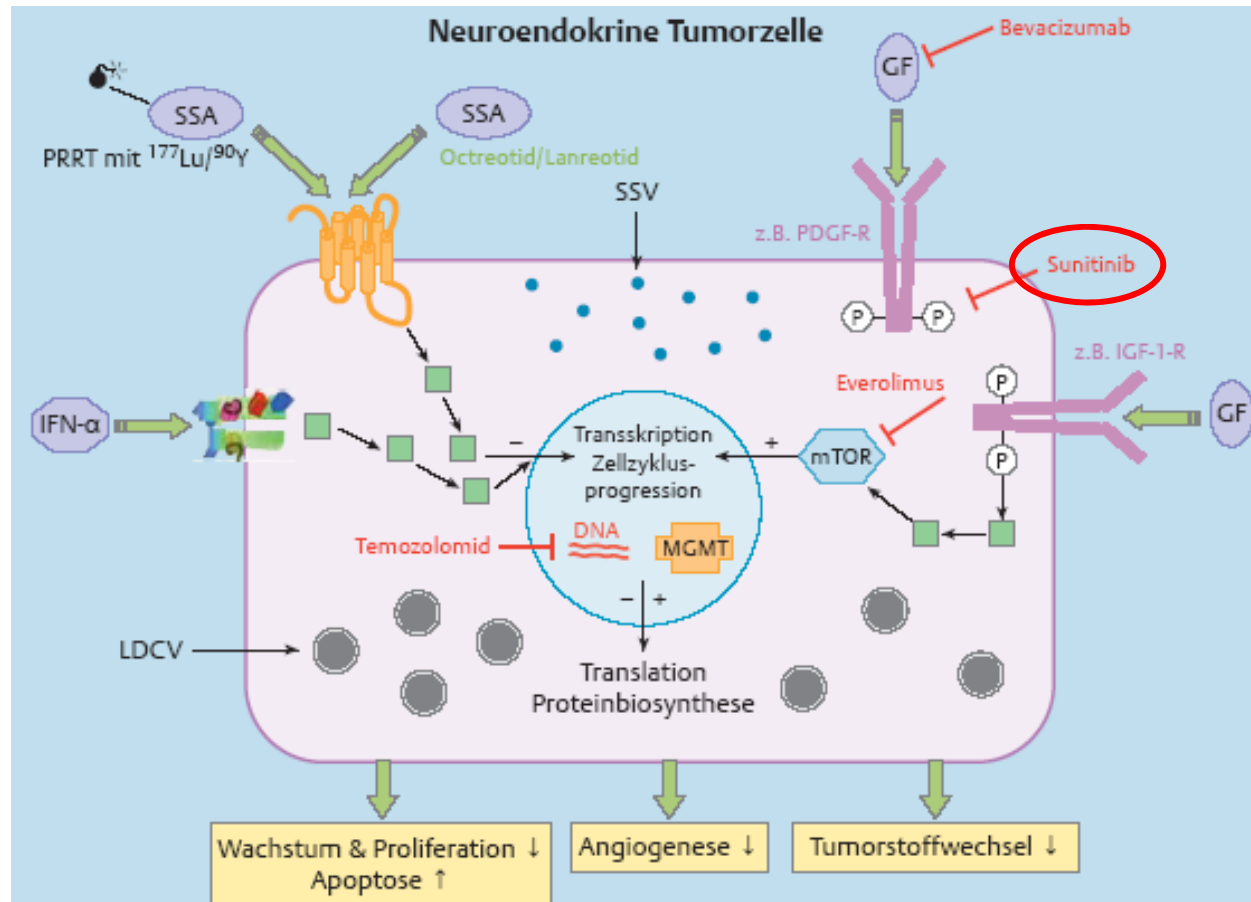
COOPERATE-2-Studie (Phase III)



prim. Endpunkt:

Wirksamkeit der Kombination von Pasireotid mit Everolimus im Vergleich zur Everolimus-Monotherapie bei progredienten Pankreas-NET

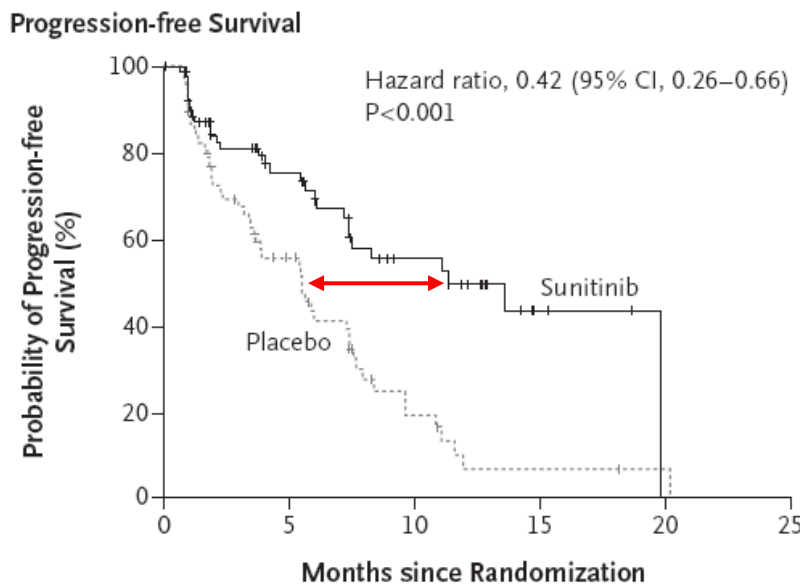
Tumorbioologie von NEN



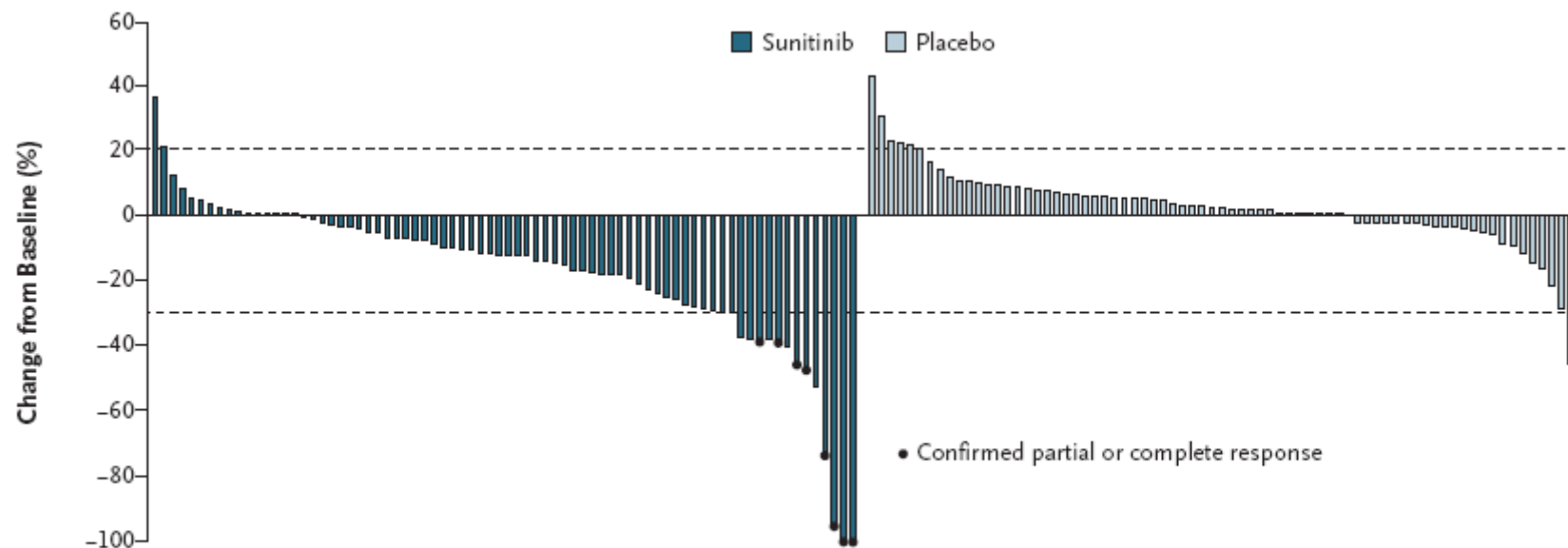
Sunitinib bei Pankreas-NET (G1/G2)

Sunitinib Malate for the Treatment of Pancreatic Neuroendocrine Tumors

Eric Raymond, M.D., Ph.D., Laetitia Dahan, M.D., Ph.D., Jean-Luc Raoul, M.D., Ph.D., Yung-Jue Bang, M.D., Ivan Borbath, M.D., Ph.D., Catherine Lombard-Bohas, M.D., Juan Valle, M.D., Peter Metrakos, M.D., C.M., Denis Smith, M.D., Aaron Vinik, M.D., Ph.D., Jen-Shi Chen, M.D., Dieter Hörsch, M.D., Pascal Hammel, M.D., Ph.D., Bertram Wiedenmann, M.D., Ph.D., Eric Van Cutsem, M.D., Ph.D., Shem Patyna, Ph.D., Dongrui Ray Lu, M.Sc., Carolyn Blanckmeister, Ph.D., Richard Chao, M.D., and Philippe Ruszniewski, M.D. N Engl J Med 2011;364:501-13.

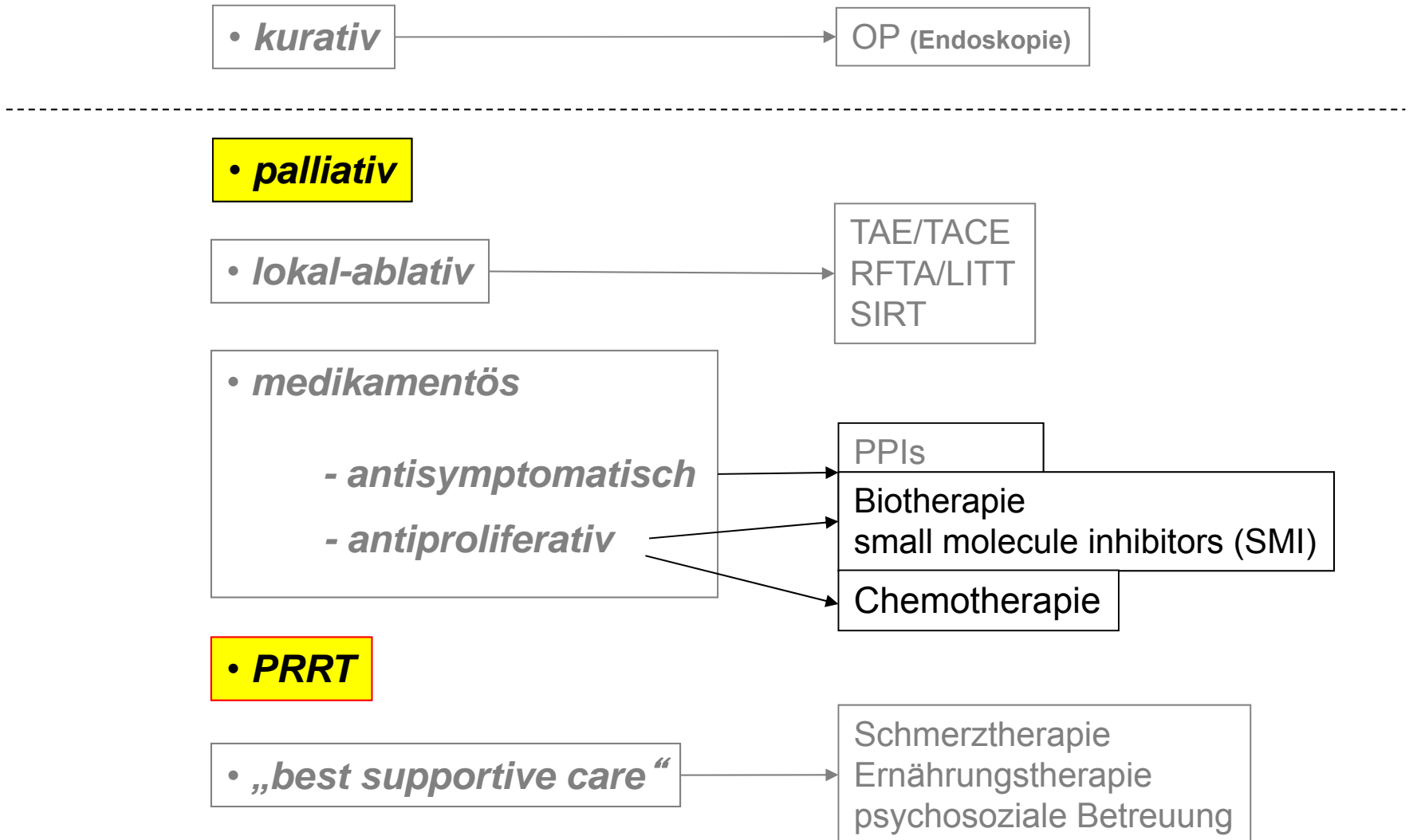


Sunitinib: Subgruppenanalysen

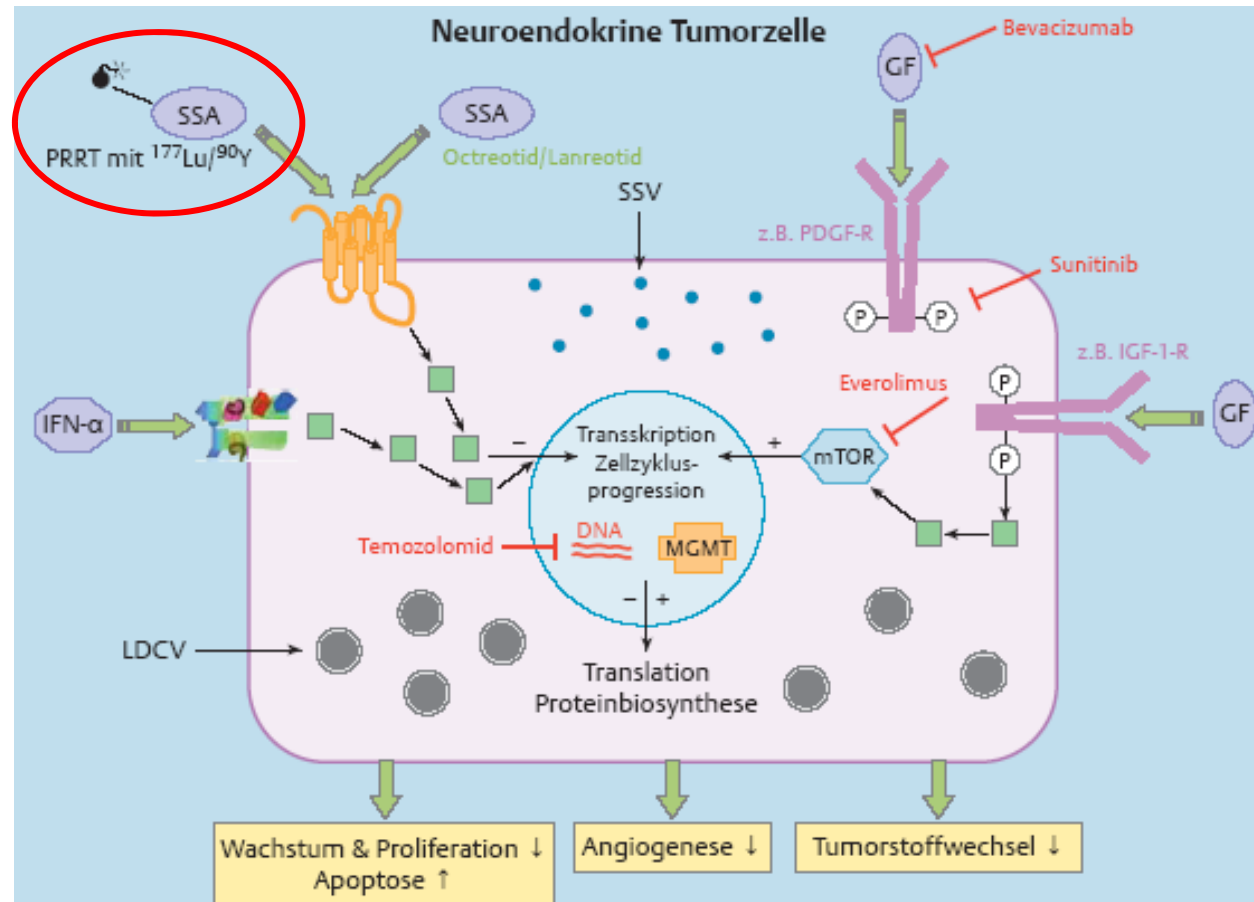


Raymond et al. NEJM 2011

Behandlungsstrategien für GEP-NEN



Tumorbioologie von NEN



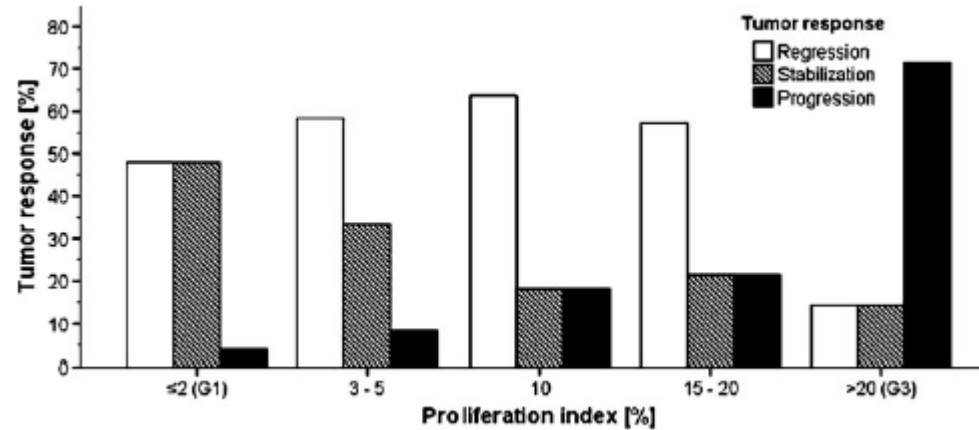
Peptid-Rezeptor-vermittelte Radionuklid-Therapie (PRRT)



	n	Progress at inclusion (%)	CR (%)	PR (%)	SD (%)	PD (%)	Outcome (months)
90Y-DOTA-TOC							
Otte 1999 ^a	18	NA	—	6	83	11	NA
Waldherr 2001 ^b	37	81	3	24	62	11	TTP > 26
Waldherr 2002 ^c	37	100	3	19	70	8	NA
Paganelli 2002 ^d	87	76	5	23	49	20	TTP 14
Bodei 2003 ^e	20	NA	—	30	50	20	TTP 10
Valkema 2006 ^f	58	76	—	9	62	24	TTP 29
Forrer 2006 ¹⁰⁸	116	93	4	22	62	11	NA
Cwikla 2010 ¹⁰⁸	60	100	—	23	70	0	PFS 17
90Y-DOTA-TATE							
Baum 2004 ^{g h}	75	89	—	37	52	11	NA
Bushnell 2010 ¹⁰⁵	90	100	—	4	70	12	PFS 16
177Lu-DOTA-TATE							
Kwekkeboom 2008 ³⁹	310	43	2	28	50	20	PFS 33
90Y-DOTA-TOC							
Imhof et al. 2011	1109	100	0,6	33,3	5,2	60,7	NA
							* prospektiv

nach Auernhammer & Göke Gut 2011
Kwekkeboom et al Endocr Rel Cancer 2010

PRRT – „Grading“-sensitiv



Ezziddin et al. Eur J Nucl Med Mol Imaging 2010

Ki67-Grading stratifiziert die PRRT-Indikation:

NET-G1 & G2

PRRT: Toxizitäten

Toxizitäten:

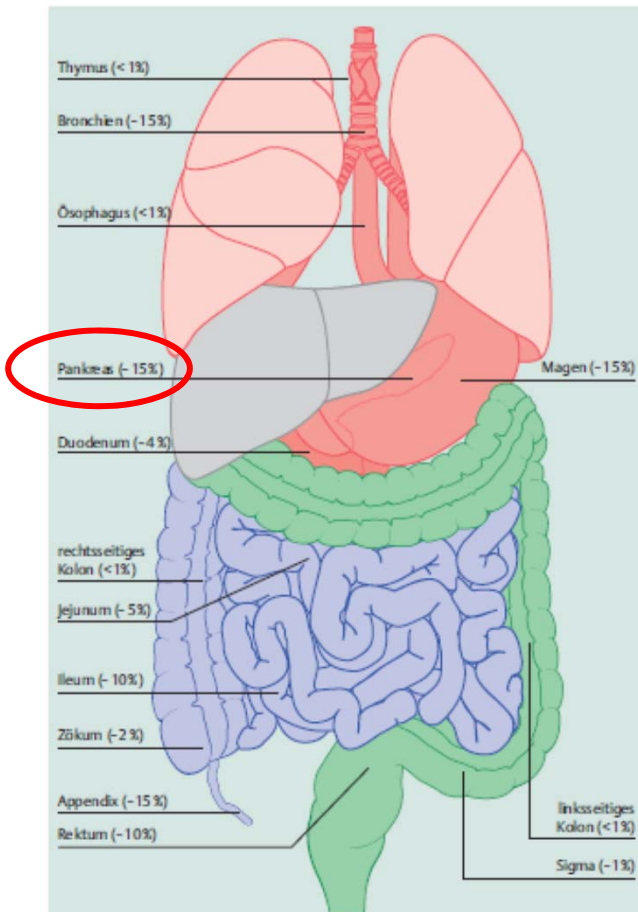
GIT (transient)	~50%
Anorexie (transient)	~20%
Fatigue	~20%
Niereninsuffizienz	5-10%
Leberversagen	~ 1%
Hämatologische Toxizität	
Anämie	~10%
Leukopenie	5-15%
Thrombopenie	10-15%

Otte et al *Lancet* 1998
 Waldherr et al *J Nucl Med* 2002
 Kwekkeboom et al *JCO* 2005
 Forrer et al *Anticancer Res* 2006
 Valkema et al *Semin Nucl Med* 2006
 Kwekkeboom et al *JCO* 2008
 Ezziddin et al *Eur J Nucl Med Mol Imaging* 2010
 Bushnell et al *JCO* 2010
 Imhof et al *JCO* 2011

Body System/Preferred Term	Grade (%)		
	All	3	4
All body systems	96.7	34.4	25.6
Blood/lymphatic system			
Anemia	8.9	1.1	0.0
Leukopenia	16.7	1.1	0.0
Lymphopenia	16.7	3.3	12.2
Thrombocytopenia	17.8	0.0	0.0
Gastrointestinal disorders			
Abdominal pain	21.1	6.7	0.0
Lower	5.6	1.1	0.0
Upper	7.8	0.0	0.0
Ascites	6.7	3.3	0.0
Constipation	7.8	1.1	0.0
Diarrhea	27.8	4.4	1.1
Nausea	57.8	13.3	0.0
Vomiting	46.7	5.6	4.4
General disorders			
Asthenia	15.6	5.6	1.1
Fatigue	26.7	6.7	0.0
Edema peripheral	8.9	1.1	0.0
Pyrexia	10.0	0.0	1.1
Weakness	7.8	1.1	1.1
Infections and infestations			
Nasopharyngitis	6.7	0.0	0.0
Urinary tract infection	6.7	1.1	0.0
Investigations (weight decreased)	14.4	2.2	0.0
Metabolism and nutrition disorders			
Anorexia	20.0	5.6	0.0
Hypophosphatemia	6.7	1.1	0.0
Musculoskeletal and connective tissue disorders			
Arthralgia	6.7	1.1	0.0
Back pain	6.7	0.0	0.0
Neoplasms, benign, malignant and unspecified carcinoid syndrome	8.9	4.4	2.2
Nervous system disorders (dizziness)	8.9	0.0	0.0
Psychiatric disorders (anxiety)	5.6	0.0	0.0
Respiratory, thoracic, and mediastinal disorders			
Cough	7.8	0.0	0.0
Dyspnea	6.7	1.1	1.1
Vascular disorders			
Flushing	15.6	4.4	0.0
Flushing aggravated	6.7	3.3	0.0
Hypertension	7.8	2.2	0.0

„Therapiehierarchie“ bei pankreatischen G1/2-NET?

pankreatische NET:



✓ kurative Resektion

✓ Ablation/Debulking

Chemotherapie:

- ! STZ/5FU (1st-line)
- ! TEMCAP

„targeted“ Therapie:

- ✓ Everolimus (2nd-line)
- ✓ Sunitinib (2nd-line)

PRRT:

- ! ⁹⁰Y-DOTATOC (2nd/3rd-line)
- ! ¹⁷⁷Lu-DOTATATE (2nd/3rd-line)

Biotherapie:

- ? Somatostatinanaloge (✓)
- ? Interferon- α (✓)

Therapiealgorithmus von NEN 2011

- **multimodal**
- **sequenziell**
- **interdisziplinär**

aktuelle Leitlinien:

➤ NANETS-LL 2010

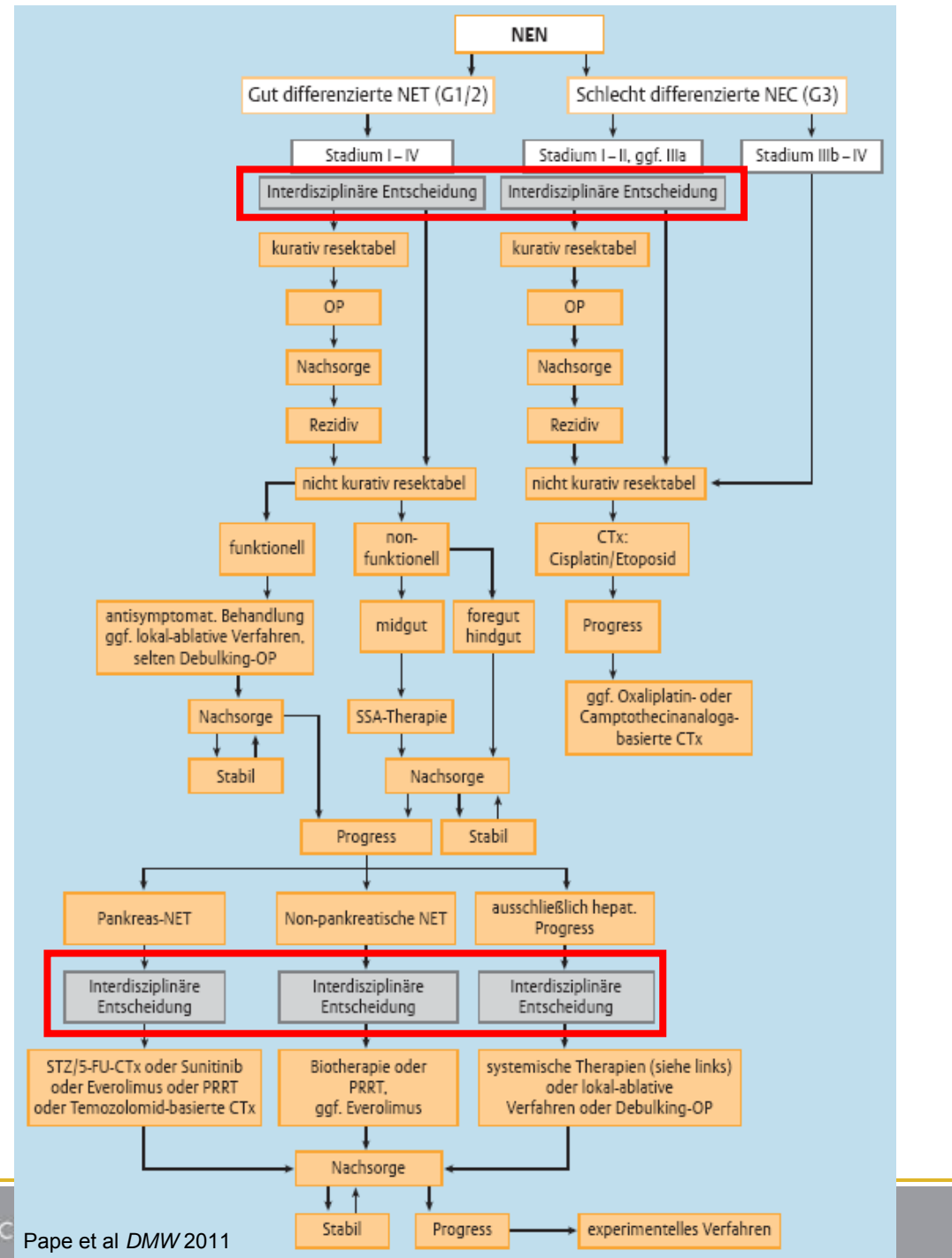
Kvols et al *Pancreas* 2010
Vnik et al *Pancreas* 2010
Kulke et al *Pancreas* 2010
Boudreux et al *Pancreas* 2010
Anthony et al *Pancreas* 2010
Strosberg et al *Pancreas* 2010

➤ ENETS-LL 2011/12

Salazar et al *Neuroendocrinology* 2012
Delle Fave et al *Neuroendocrinology* 2012
Falconi et al *Neuroendocrinology* 2012
Jensen et al *Neuroendocrinology* 2012
Pape et al *Neuroendocrinology* 2012
Caplin et al *Neuroendocrinology* 2012
Pavel et al *Neuroendocrinology* 2012

➤ UKI-NETS 2011

Ramage et al *Gut* 2012



Vielen Dank für Ihre Aufmerksamkeit!

